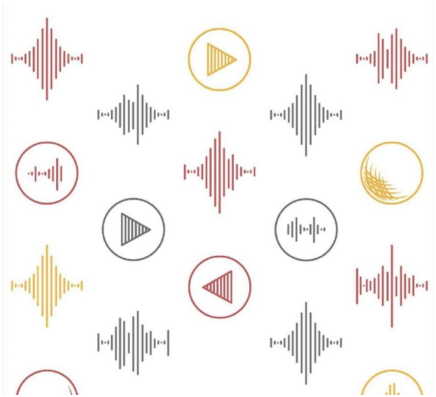

Corso di Laurea in Comunicazione - Anno Accademico 2023/2024

Marco Toffanin

Airbnb logo padlet
https://unipd.padlet.org/marcotoffanin/logo-air-bnb-w209so82qmtltdn5

James Montgomery Flagg, 1917

Alfred Leete, 1914

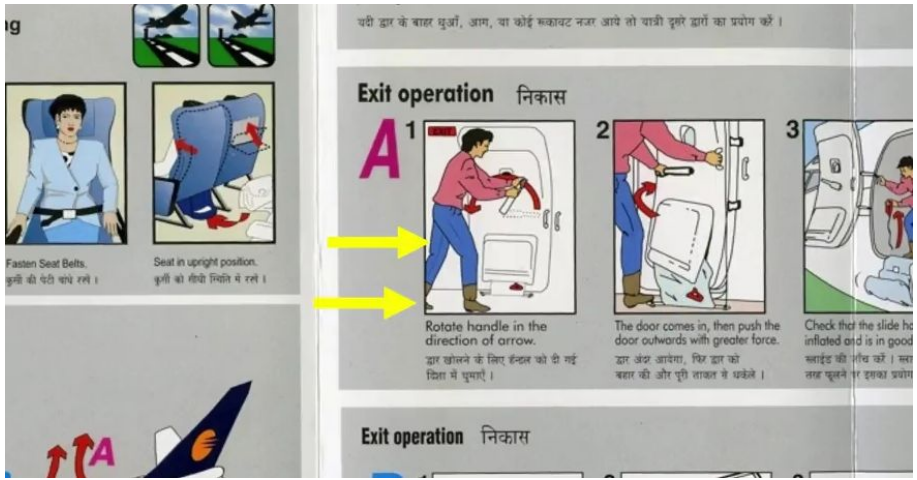
Fasten Seat Belts.
Seat in upright position.
यदी द्वार के बाहर धुआँ, आग, या कोई रूकावट नजर आये तो यात्री दूसरे द्वारों का प्रयोग करें ।
Exit operation निकास
A
1
2
3
Rotate handle in the direction of arrow.
द्वार खोलने के लिए हैन्डल को दी गई दिशा में घुमाएँ ।
The door comes in, then push the door outwards with greater force.
द्वार अंदर आयेगा, फिर द्वार को बहार की ओर पूरी ताकत से धकेलें ।
Exit operation निकास


1
2
3
4
Elec-
tronic
Devices
CD
MD

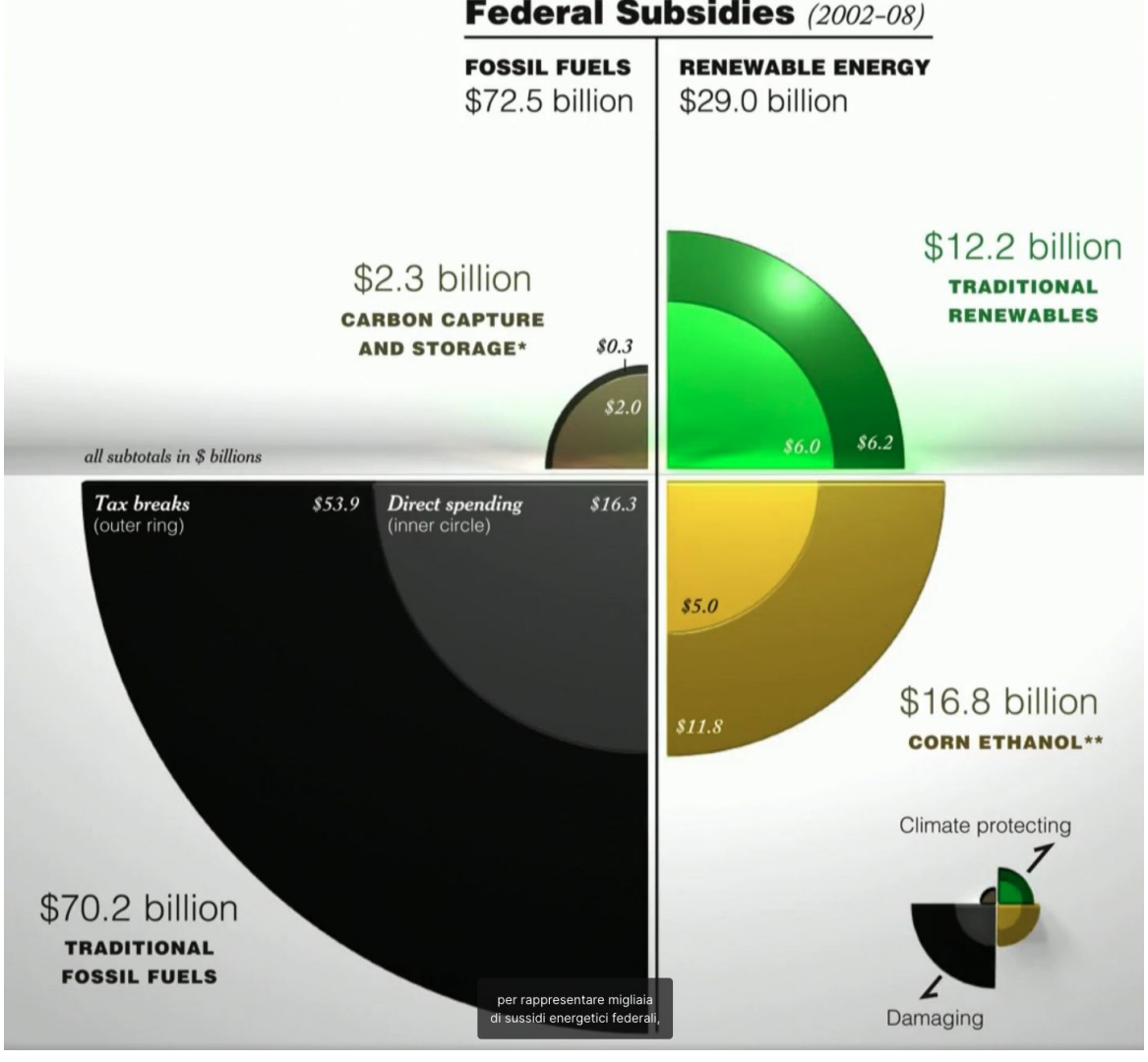
Federal Subsidies (2002-08)
FOSSIL FUELS
$72.5 billion
RENEWABLE ENERGY
$29.0 billion
$2.3 billion
CARBON CAPTURE AND STORAGE*
$0.3
$2.0
$12.2 billion
TRADITIONAL RENEWABLES
$6.0
$6.2
all subtotals in $ billions
Tax breaks (outer ring)
$53.9
Direct spending (inner circle)
$16.3
$70.2 billion
TRADITIONAL FOSSIL FUELS
$5.0
$11.8
$16.8 billion
CORN ETHANOL**
Climate protecting
Damaging
per rappresentare migliaia
di sussidi energetici federali,

Planes or Volcano?

What's emitting the most CO2 per day?

Chi stava emettendo più CO2?

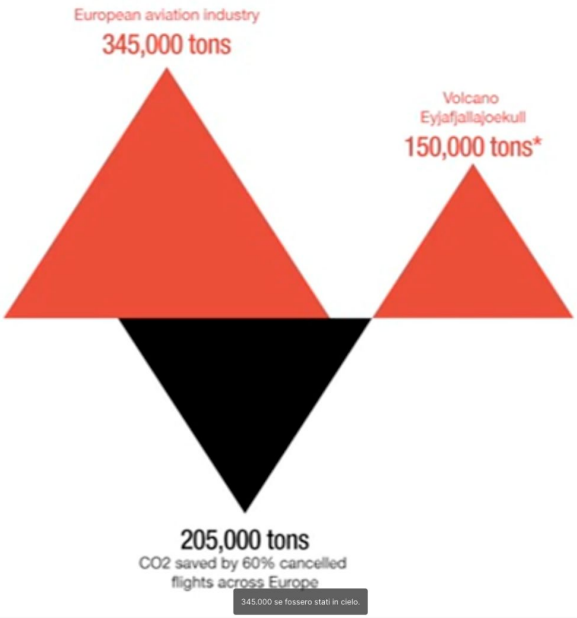
European aviation industry
345,000 tons
Volcano
Eyjafjallajoekull
150,000 tons*
205,000 tons
CO2 saved by 60% cancelled
flights across Europe
345.000 se fossero stati in cielo.

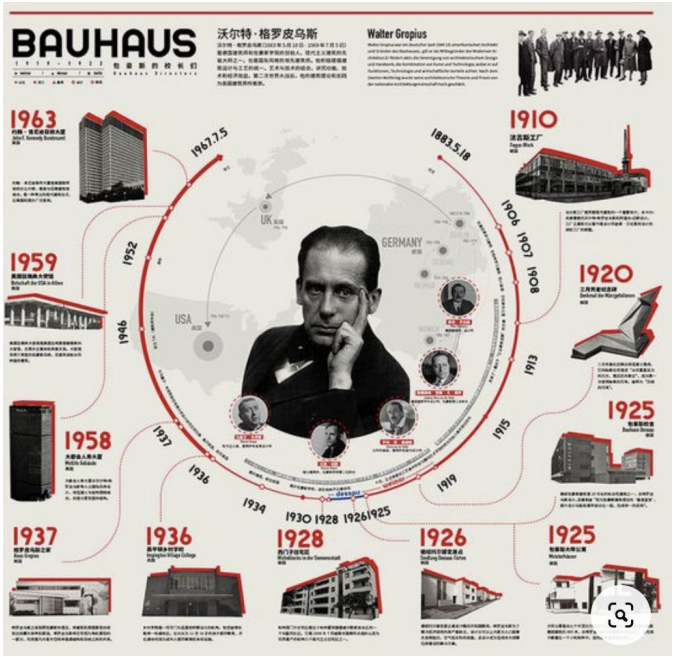
BAUHAUS
沃尔特·格罗皮乌斯
Walter Gropius
1963
1959
1958
1937
1936
1928
1926
1925
1910
1920
1925
1883.5.18
1907.7.5
1952
1946
1937
1936
1934
1930 1928 1926 1925
1919
1915
1913
1908
1907
GERMANY
USA
UK

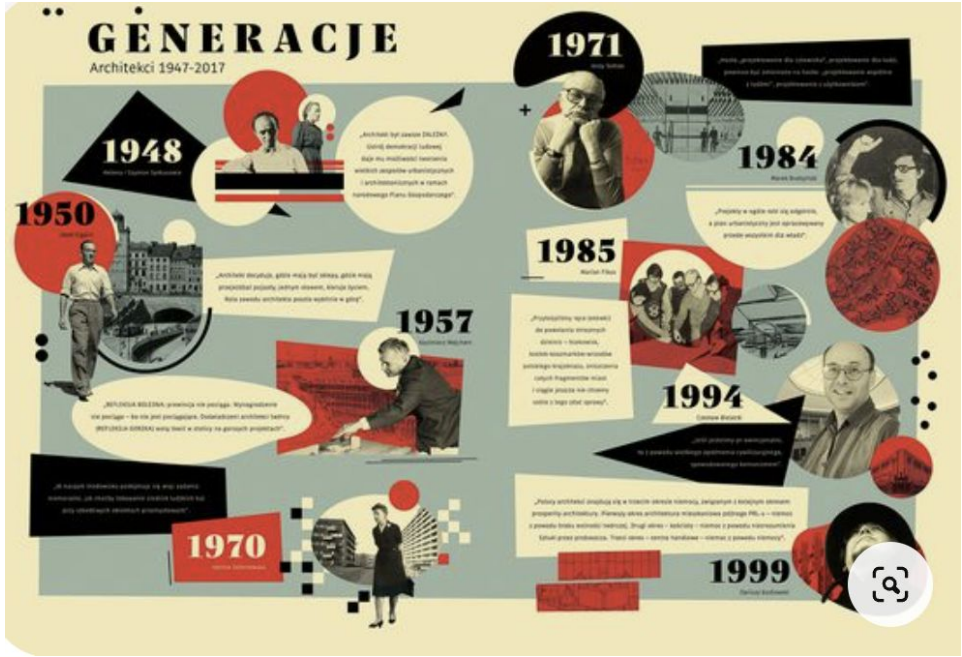
GENERACJE
Architekci 1947-2017
1971
1948
1984
1950
1985
1957
1994
1970
1999

The beauty of data visualization

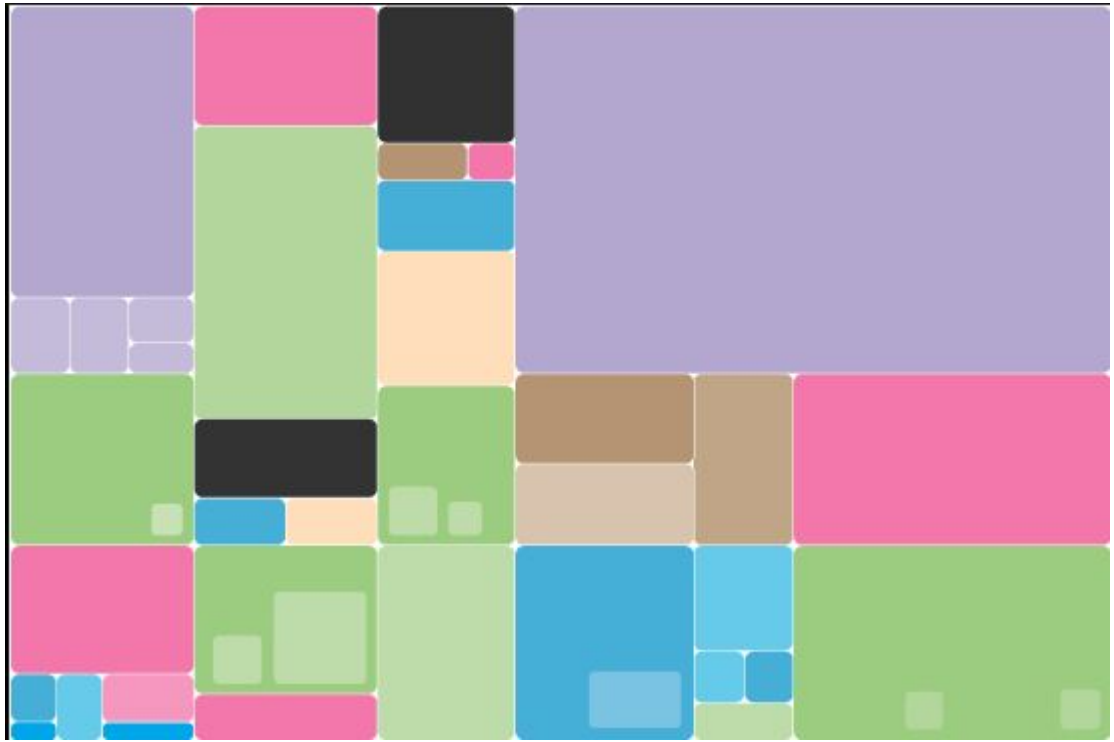

David McCandless

“Posso usare lo specchio, che mostra le cose come appaiono all’occhio, o posso usare la mappa, che mostra le cose come sono pensate”

Ernst Gombrich (1909-2001)

Secondo El Lissitzky, architetto
e grafico russo di inizi ‘900,
la forma visiva dovrebbe corrispondere
alle tensioni di trazione e
pressione del contenuto.

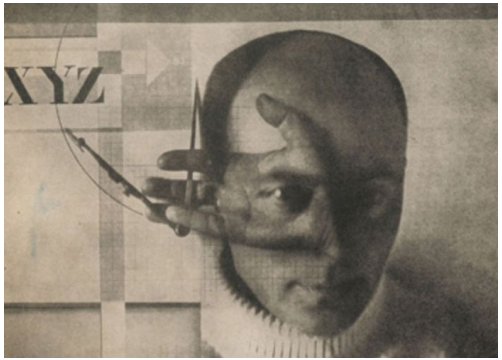

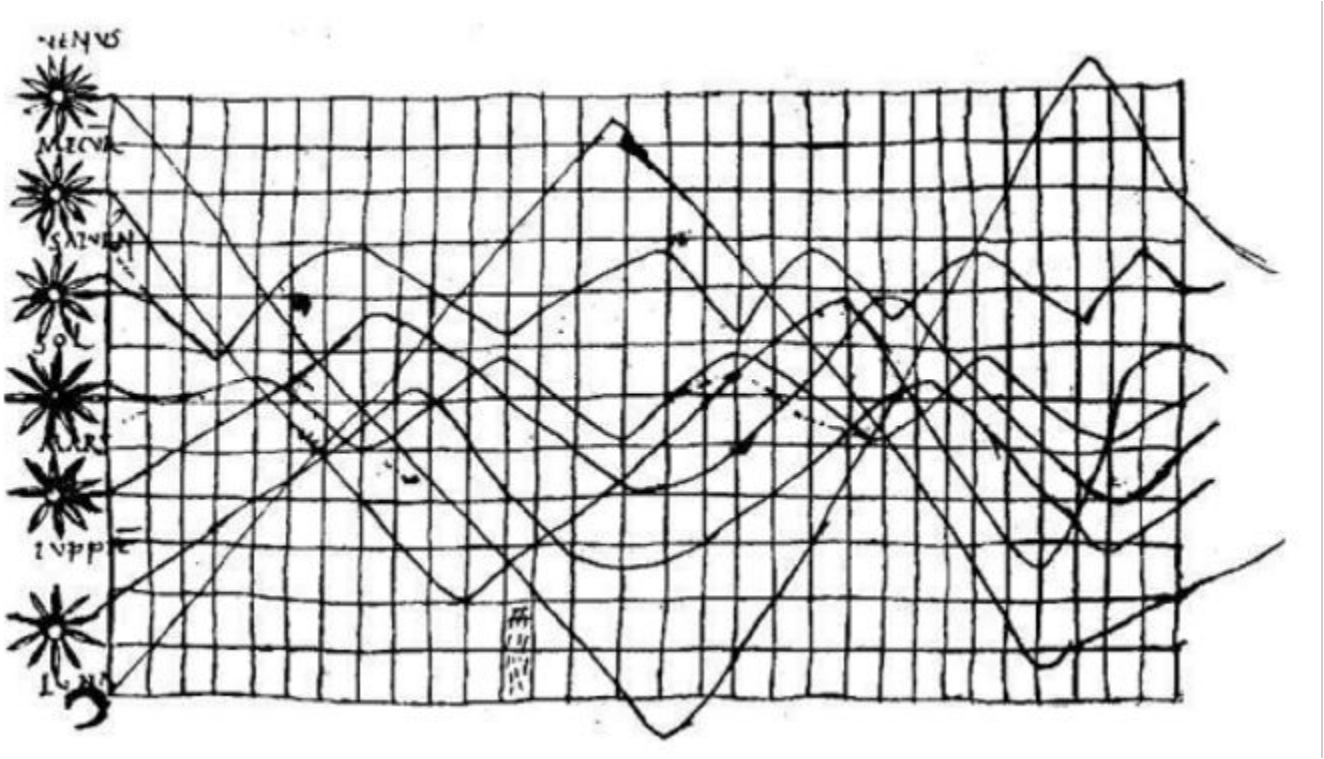

Movimenti planetari mostrati come inclinazioni cicliche nel tempo, Anonimo, X secolo d.c.

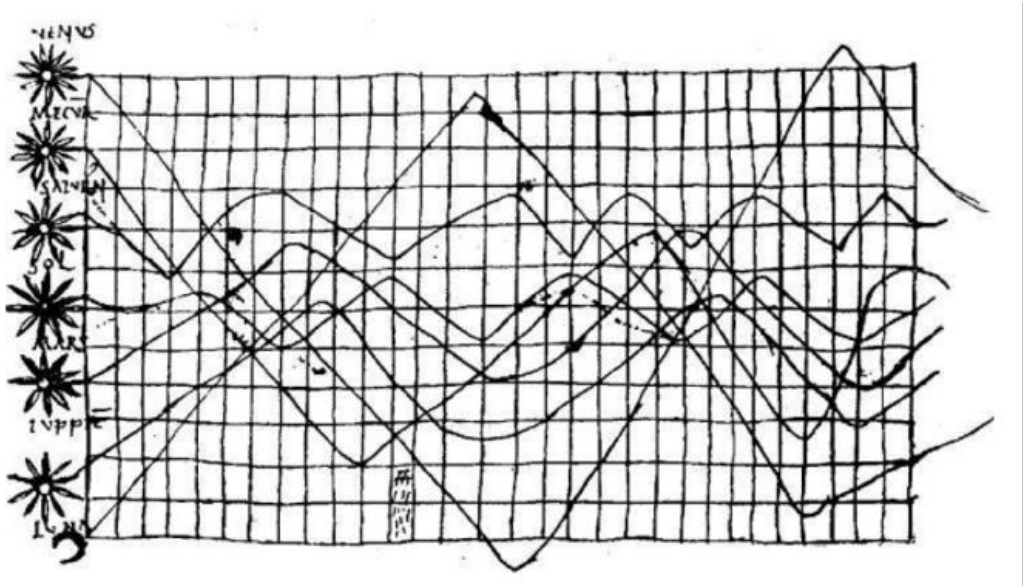

L'illustrazione è una forma primitiva di grafico a serie temporali multiple, che rappresenta il cambiamento nello spazio e nel tempo della posizione dei sette più importanti corpi celesti visibili dalla terra. Secondo l'interpretazione che è stata fornita da Funkhouser del 1936, l'asse orizzontale rappresenterebbe il tempo, suddiviso in 30 intervalli regolari, mentre nell'asse verticale sarebbe stata rappresentata l'inclinazione delle orbite dei corpi celesti, ottenendo in questo modo la variazione della posizione delle sette stelle nel tempo.

[Ramon Llull, 1232-1287]

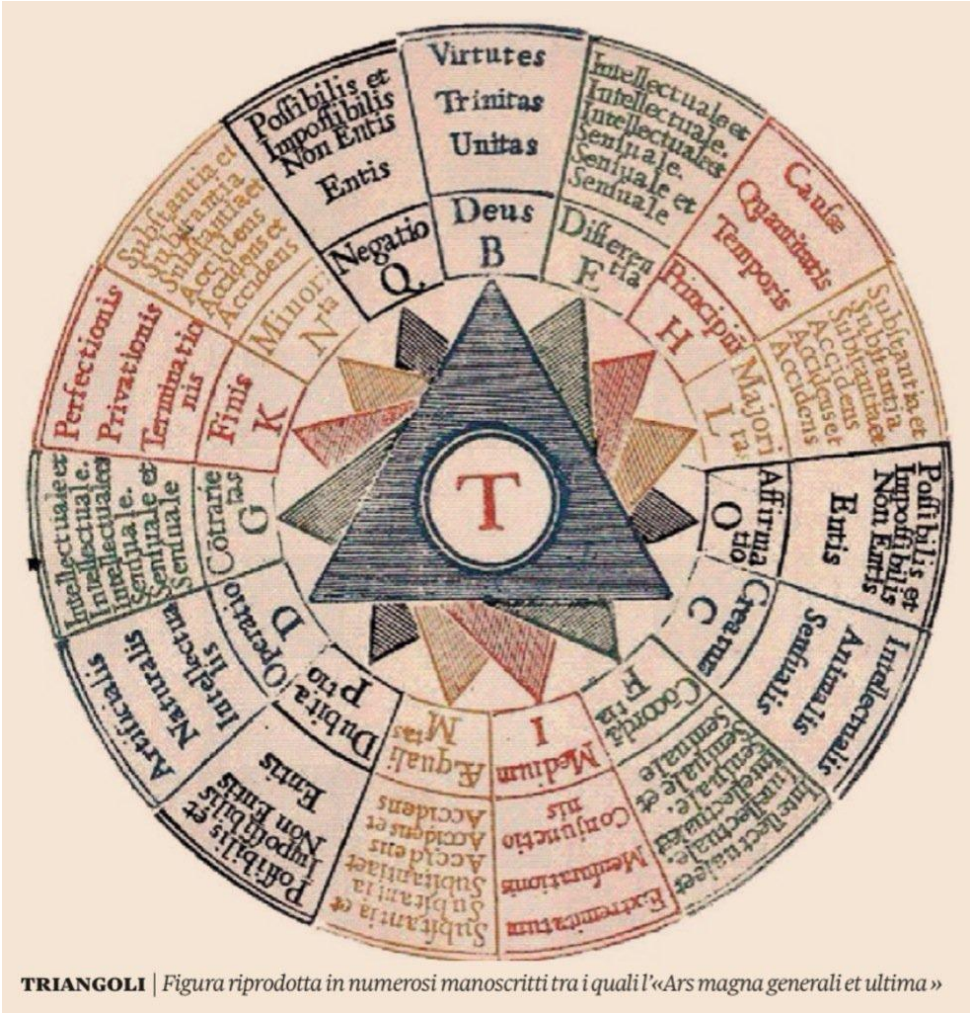

TRIANGOLI | *Figura riprodotta in numerosi manoscritti tra i quali l'«Ars magna generali et ultima»*

William Playfair,
L'atlante commerciale e politico,
1786

Grafico lineare a serie storiche e raffigura la quantità di merce importata ed esportata dall'Inghilterra verso gli altri paesi. Come spiega lo stesso Playfair, sull'asse verticale viene rappresentata una grandezza, in questo caso la quantità di merce, l'asse orizzontale indica il tempo espresso in anni, mentre le due linee all'interno del grafico descrivono la variazione nel tempo della grandezza in esame. L'area che si viene a formare tra le due curve, che nel grafico sotto riportato è evidenziata con il colore azzurro, prende il nome di bilancia dei pagamenti e si ottiene dalla differenza tra le esportazioni (linea in alto) e le importazioni (linea in basso).

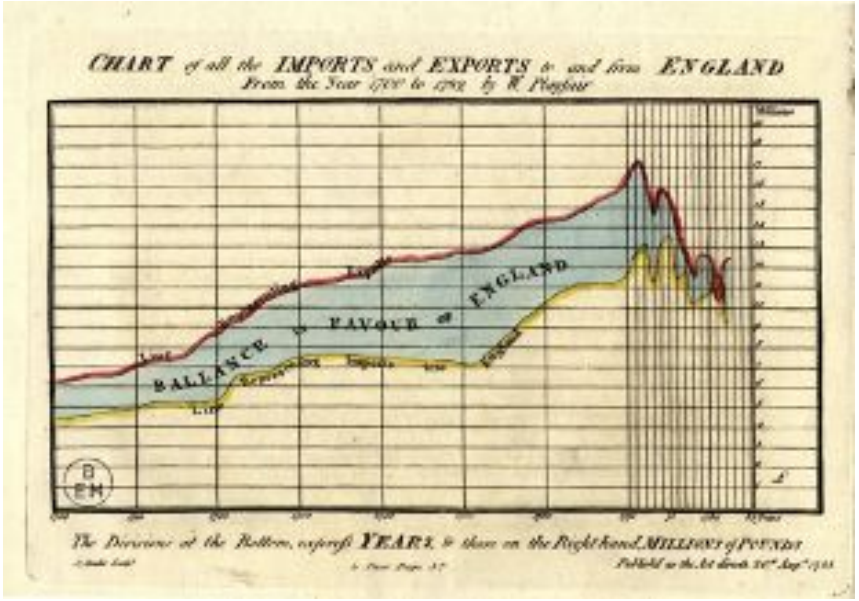

Il “diagramma della rosa” del 1858, col quale l’infermiera Florence Nightingale, la leggendaria “signora con la lanterna” e prima donna ad essere ammessa alla Royal Statistical Society di Londra, rivoluzionò la sanità militare dimostrando che la principale causa di morte dei soldati durante la Guerra in Crimea non erano le ferite in battaglia ma le infezioni contratte negli ospedali da campo.

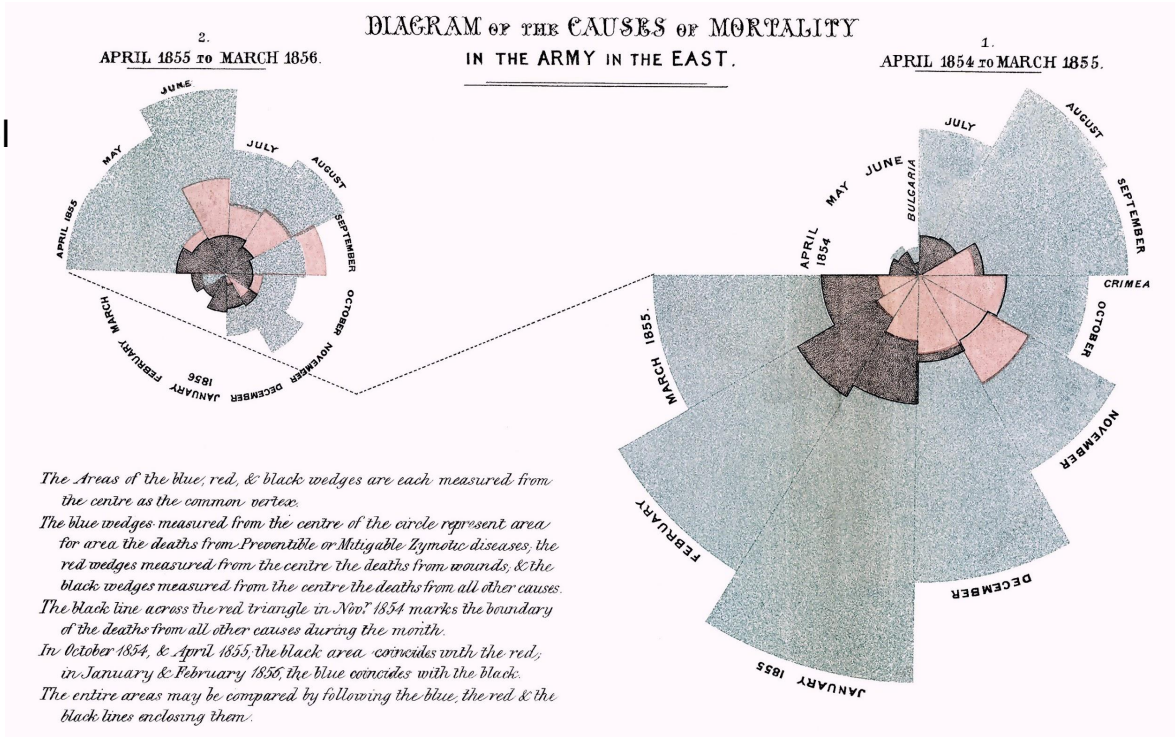

Florence Nightingale, 1858

Le disastrose condizioni igieniche e organizzative accompagnate all'elevata mortalità dei soldati curati nell'ospedale, portarono Nightingale a sospettare che gran parte dei decessi fossero dovuti alle condizioni del luogo, sovraffollato, sporco e invaso da parassiti. Si impegnò quindi nella riorganizzazione dell'intero ospedale, istituì nuove norme igieniche e contemporaneamente raccolse numerosi dati come il numero di decessi, le cause della morte e i periodi dell'anno. L'importanza di Florence Nightingale sta nell'aver posto le basi di una rivoluzione nella sanità militare grazie ad uno studio del 1858, nel quale riassunse i dati raccolti durante il suo operato a Scutari. Questi non vennero rappresentati mediante tabelle, ma inventò un nuovo modo di comunicare le informazioni, che permettesse di comprendere immediatamente l'elevata percentuale di decessi evitabili, in quanto dovuti a malattie infettive, malnutrizione e scarsa igiene.

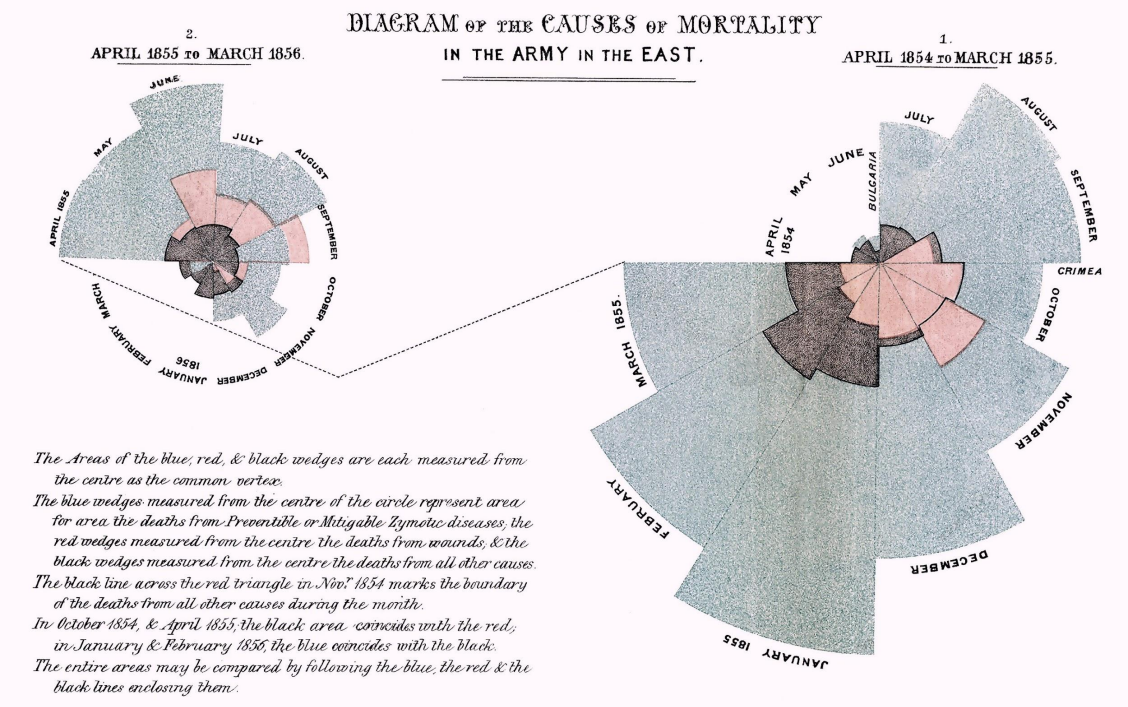

Il “Diagramma polare per aree comparate” o “Nightingale rose diagram” (figura 2.17), fu utilizzato per incentivare la riorganizzazione delle strutture ospedaliere e l’adozione di adeguate norme igieniche al fine di ridurre la mortalità negli ospedali. Nel grafico sono riportate tre diverse variabili: il tempo, il numero di morti e la causa della morte. Innanzitutto, sono distinguibili due diagrammi, che vanno letti in senso orario, partendo dalla sagoma più grande che corrisponde al periodo tra l’aprile 1854 e il marzo 1855, per poi proseguire con l’altro diagramma che mostra invece l’anno successivo, dall’aprile 1855 al marzo 1856. Ogni sagoma si compone di dodici settori cuneiformi, uno per ogni mese dell’anno, la cui area misurata dal centro del cerchio è direttamente proporzionale al numero dei morti per ciascuna delle cause analizzate. Le aree azzurre rappresentano le morti dovute a malattie e infezioni, le aree rosse indicano i decessi causati dalle ferite sui campi da battaglia, mentre le sezioni nere riportano i deceduti per altre cause. Osservando il grafico si può comprendere come, a partire dall’aprile 1855 (diagramma a sinistra), mese in cui vennero messe in pratica le indicazioni di Nightingale riguardo alle misure igieniche negli ospedali, il numero dei morti cominciò a diminuire gradualmente abbassando la mortalità dal 42% al 2%.

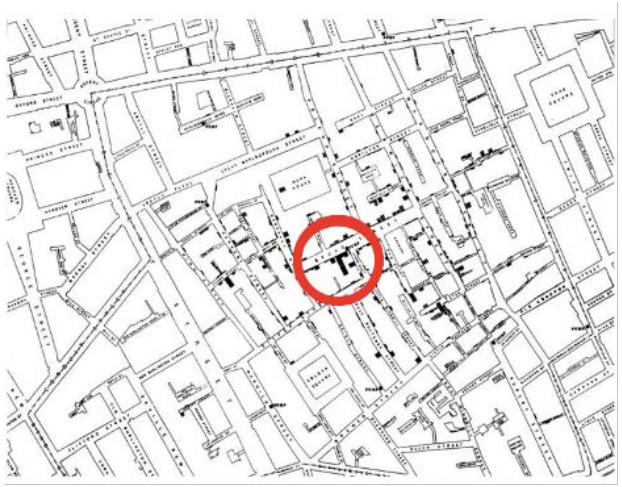

Un’altra figura di interesse in questo ambito fu John Snow, anestesista inglese, che durante l’epidemia di colera scoppiata a Londra nel 1854 ebbe l’intuizione di mappare i contagi del quartiere di Soho.
In quel periodo non erano ancora state identificate con certezza le modalità cui si diffondeva la malattia, ma si ipotizzava che la causa fosse l’inalazione di aria malsana. John Snow rappresentando su una mappa la posizione delle abitazioni dei malati di colera (identificati con un trattino nero), scoprì che la stragrande maggioranza di essi viveva e di conseguenza utilizzava l’acqua che proveniva da uno stesso pozzo (evidenziato dal cerchio rosso). Il medico intuì che la probabile causa dell’epidemia potesse essere l’acqua potabile, contaminata da un precedente intervento di svuotamento dei pozzi neri. La chiusura della pompa attorno alla quale si concentravano maggiormente i decessi e il conseguente ridimensionamento della diffusione dell’epidemia, confermarono le sue ipotesi.

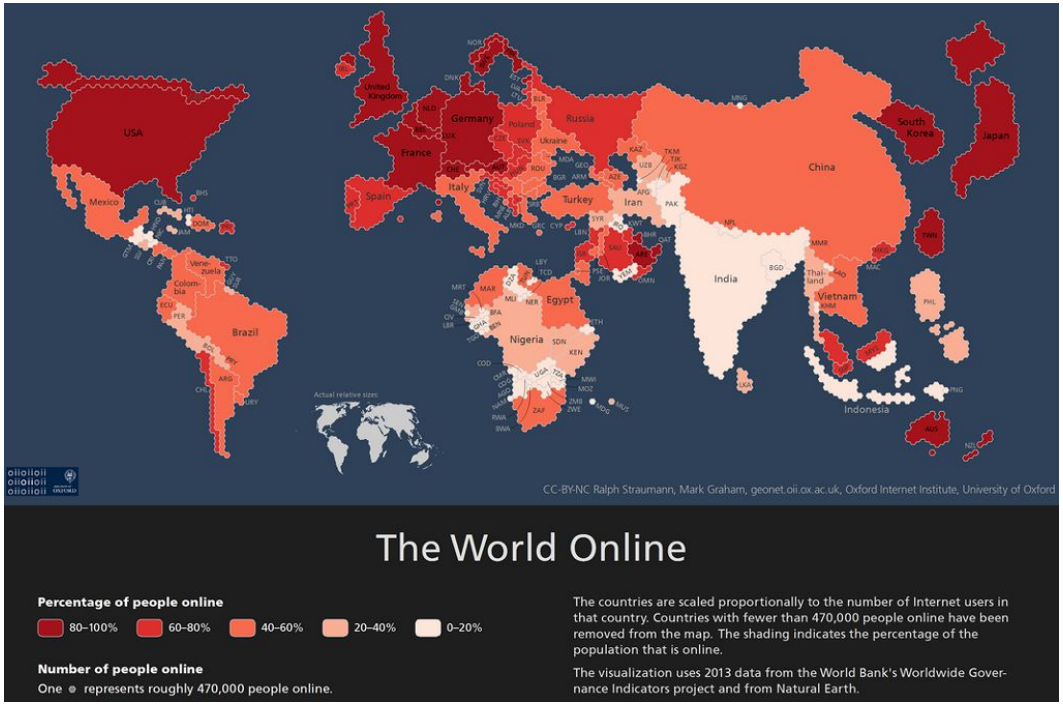

University of Oxford
https://www.oii.ox.ac.uk/blog/the-world-online/

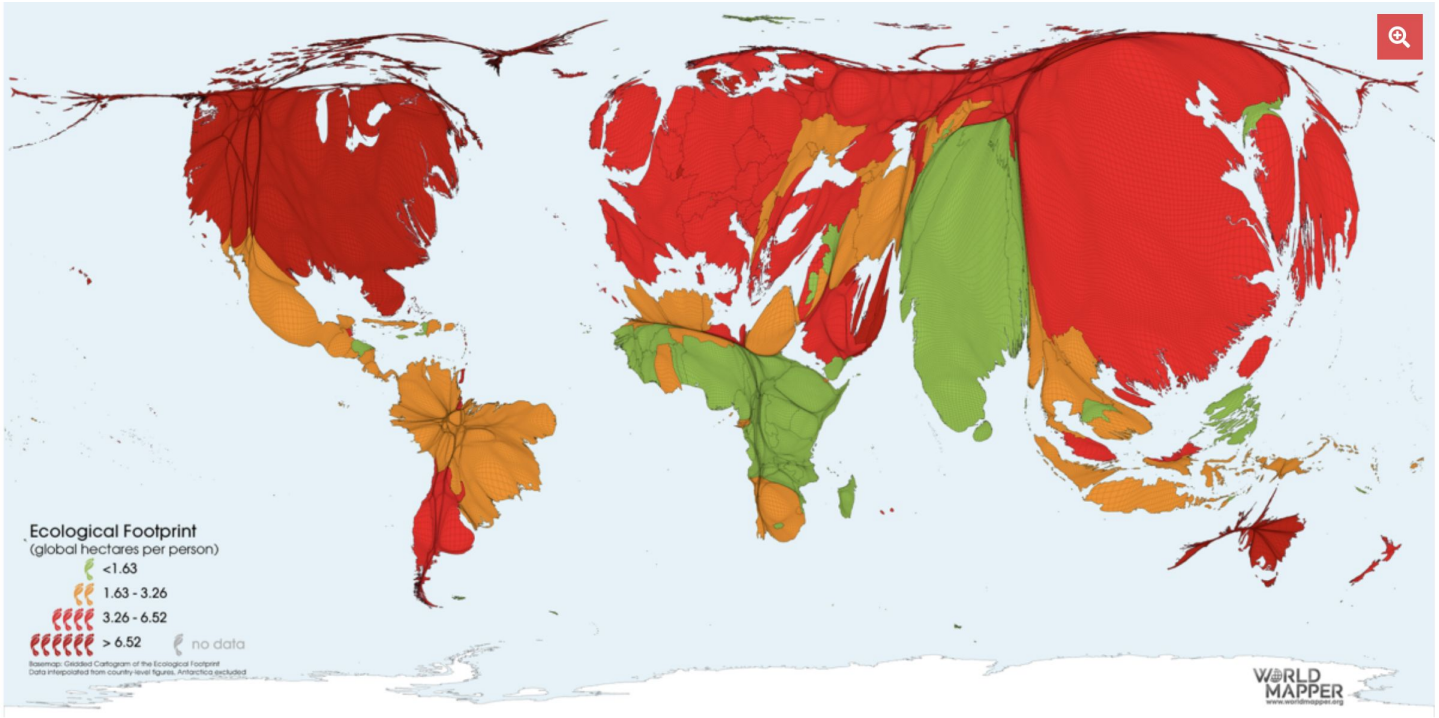

https://worldmapper.org/

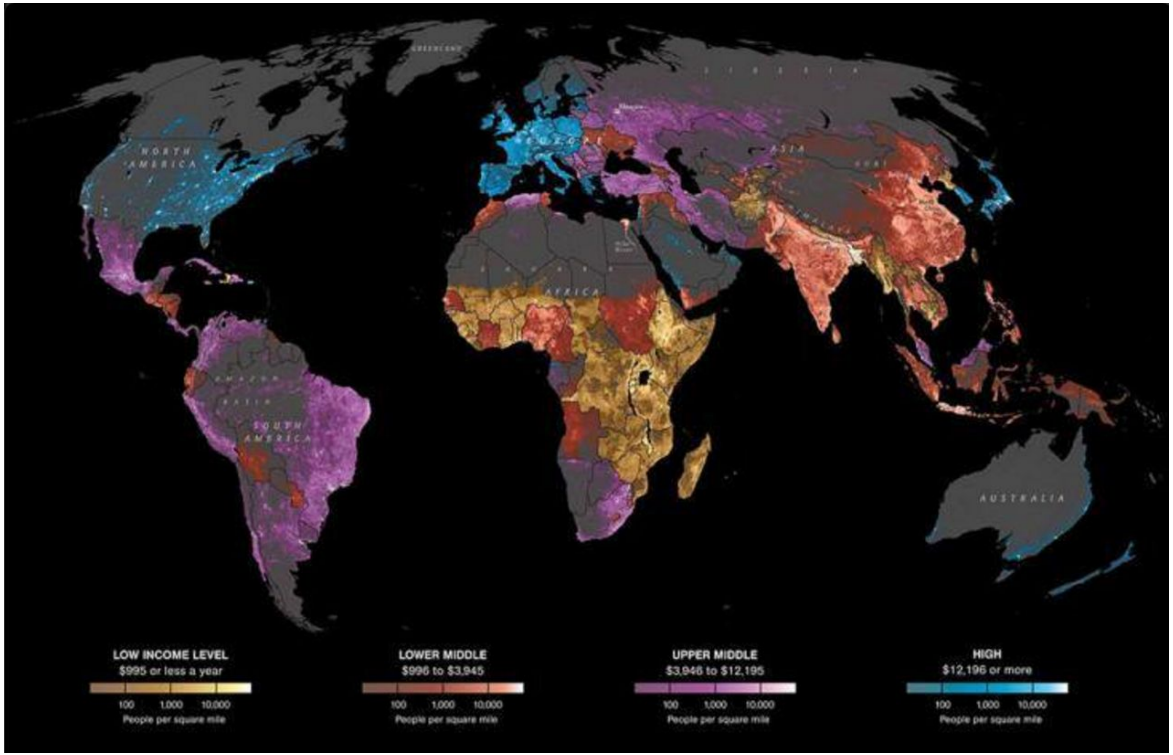
GREENLAND
NORTH AMERICA
EUROPE
ASIA
AFRICA
AMAZON BASIN
SOUTH AMERICA
AUSTRALIA
LOW INCOME LEVEL
$995 or less a year
100 1,000 10,000
People per square mile
LOWER MIDDLE
$996 to $3,945
100 1,000 10,000
People per square mile
UPPER MIDDLE
$3,946 to $12,195
100 1,000 10,000
People per square mile
HIGH
$12,196 or more
100 1,000 10,000
People per square mile

Pm10 in Europe

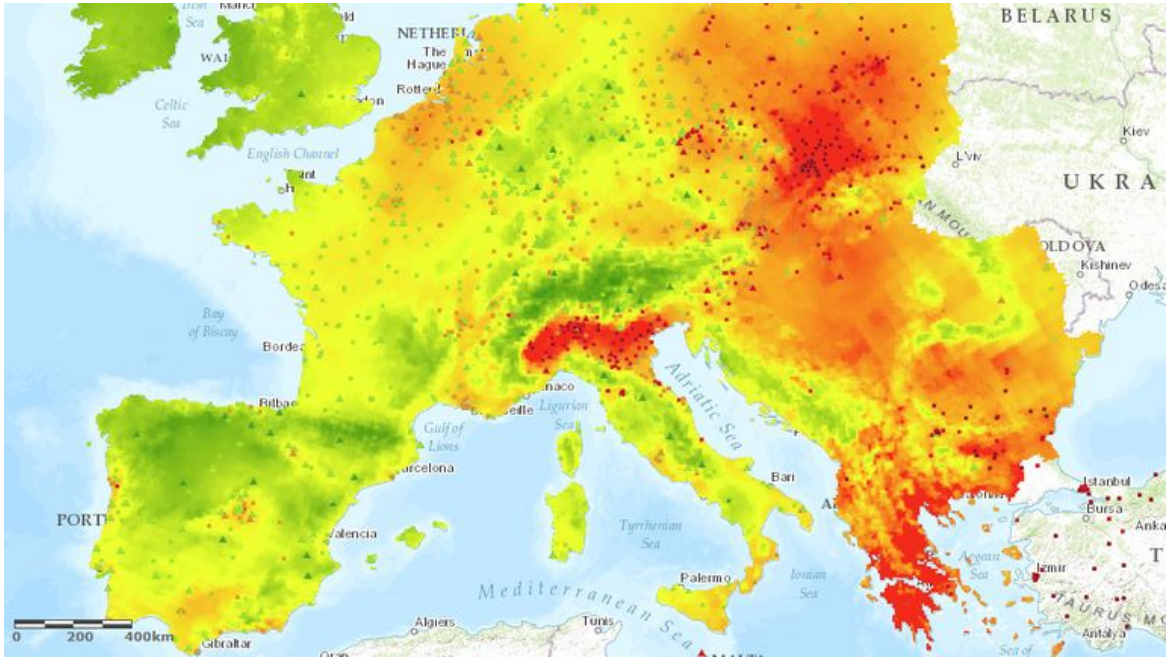

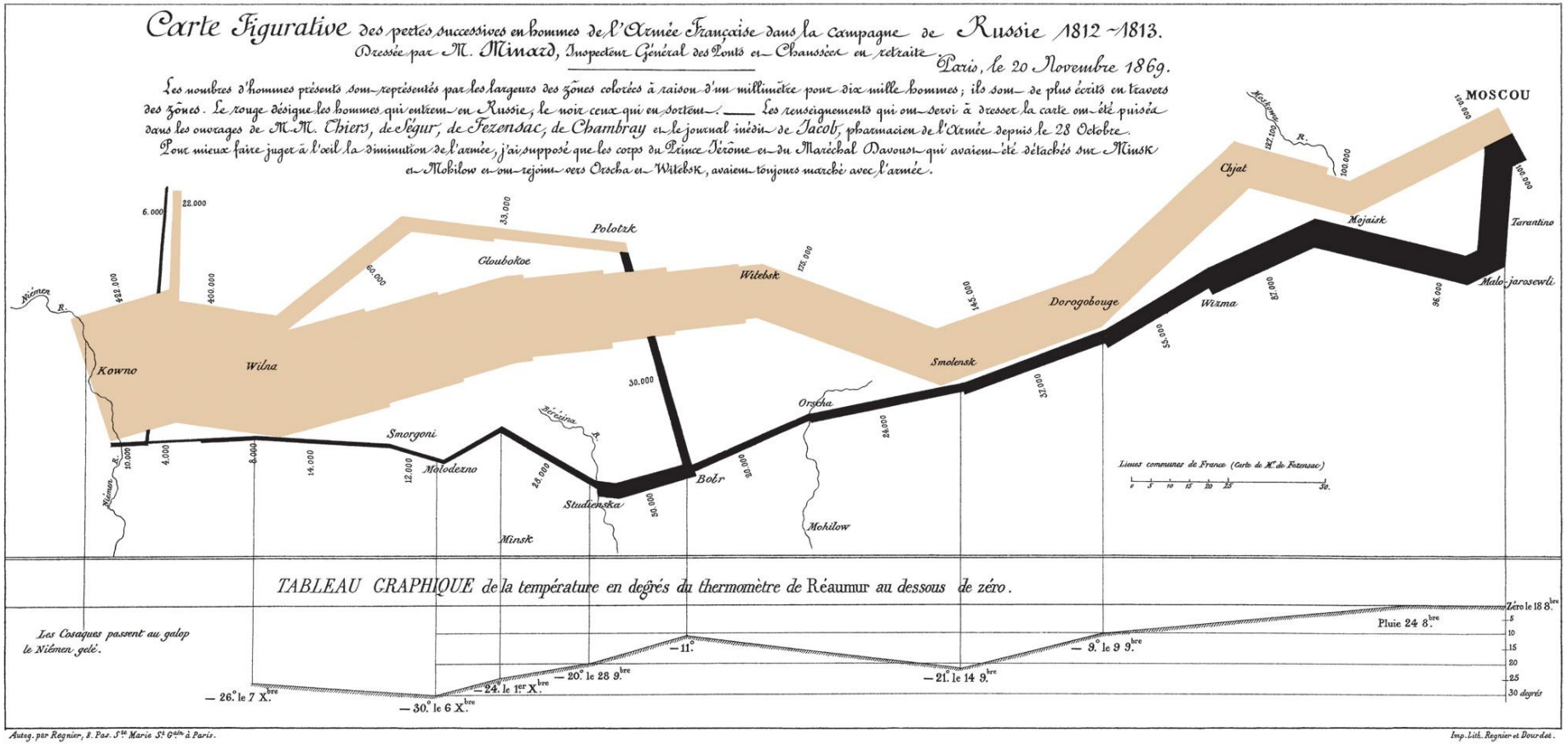

Charles Minard, 1869

Ogni millimetro rappresenta 10.000 uomini

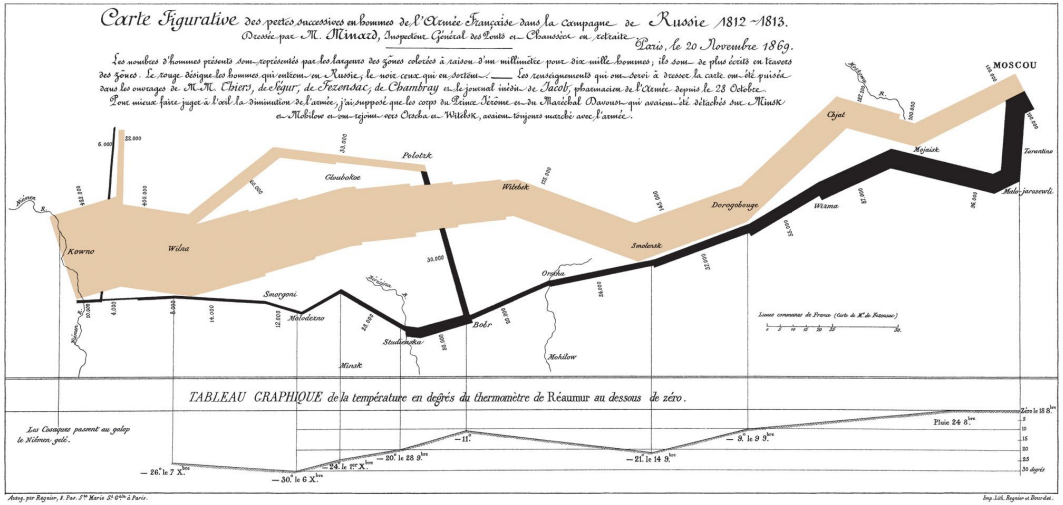

In quel periodo non erano ancora state identificate con certezza le modalità cui si diffondeva la malattia, ma si ipotizzava che la causa fosse l'inalazione di aria malsana. John Snow rappresentando su una mappa la posizione delle abitazioni dei malati di colera (identificati con un trattino nero), scoprì che la stragrande maggioranza di essi viveva e di conseguenza utilizzava l'acqua che proveniva da uno stesso pozzo (evidenziato dal cerchio rosso). Il medico intuì che la probabile causa dell'epidemia potesse essere l'acqua potabile, contaminata da un precedente intervento di svuotamento dei pozzi neri. La chiusura della pompa attorno alla quale si concentravano maggiormente i decessi e il conseguente ridimensionamento della diffusione dell'epidemia, confermarono le sue ipotesi.

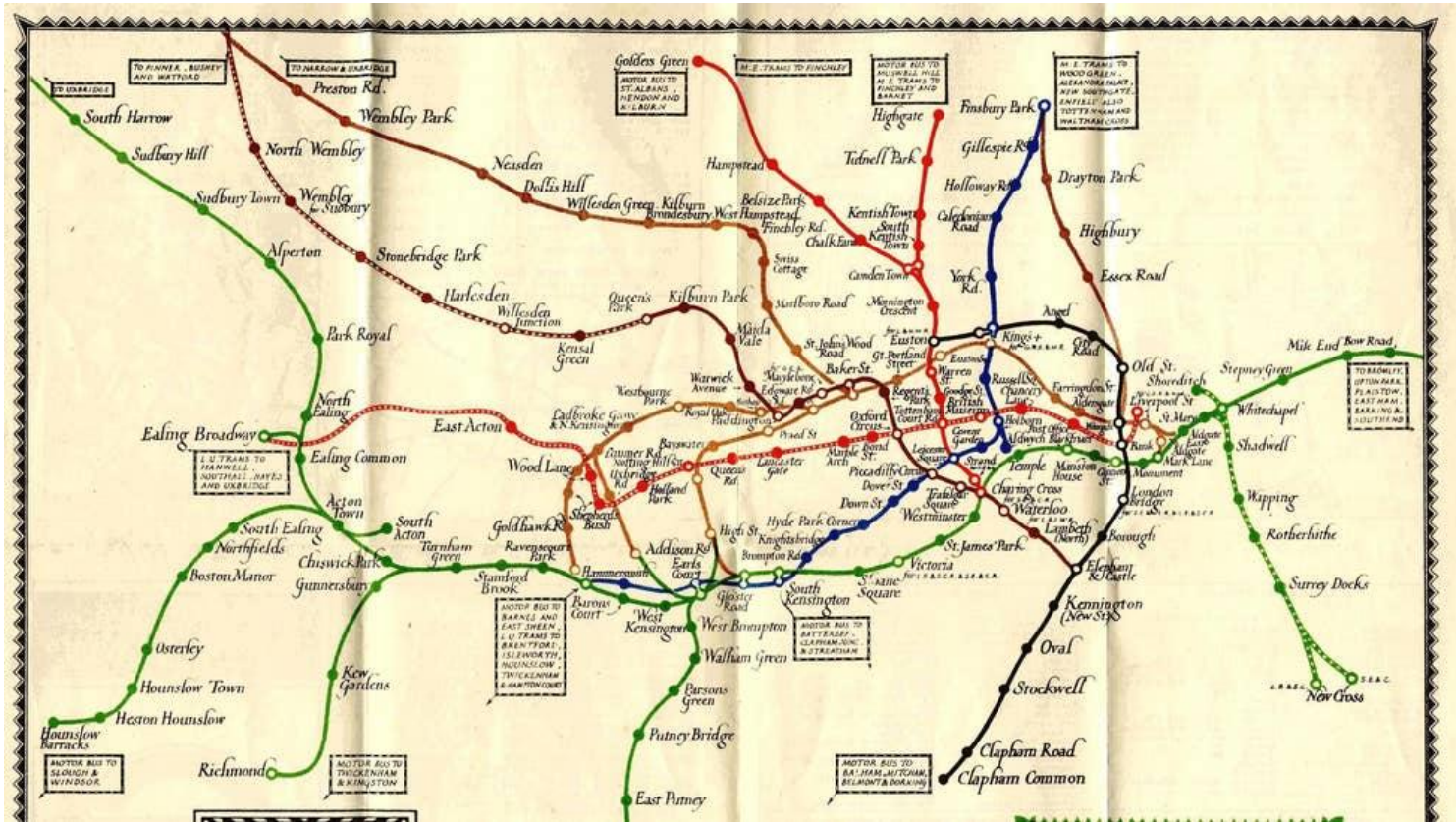
TO UXBRIDGE
TO HARROW & UXBRIDGE
TO FINNER, BUSHEY AND WATFORD
South Harrow
Sudbury Hill
Sudbury Town
Alperton
Park Royal
North Ealing
Ealing Broadway
Ealing Common
Acton Town
South Ealing
Northfields
Boston Manor
Chiswick Park
Gunnersbury
Osterley
Hounslow Town
Heston Hounslow
Hounslow Barracks
Richmond
Preston Rd.
Wembley Park
North Wembley
Wembley & Sudbury
Stonebridge Park
Harlesden
Willesden Junction
Kensal Green
East Acton
Wood Lane
South Acton
Turnham Green
Ravenscourt Park
Stamford Brook
Goldhawk Rd.
Shepherd's Bush
Hammersmith
Barons Court
West Kensington
Addison Rd.
Earls Court
Gloster Road
South Kensington
West Brompton
Walham Green
Parsons Green
Putney Bridge
East Putney
Kew Gardens
Neasden
Dollis Hill
Willesden Green
Kilburn
Brondesbury
Kilburn Park
Queens Park
Maida Vale
Westbourne Park
Ladbroke Grove
Notting Hill Gate
Queens Rd.
Holland Park
Bayswater
Lancaster Gate
Marble Arch
Hyde Park Corner
Knightsbridge
High St.
Brompton Rd.
Victoria
St. James' Park
Down St.
Piccadilly Circus
Oxford Circus
Regent's Park
Warwick Avenue
Edgware Rd.
Baker St.
Marylebone
Great Portland Street
Euston
St. John's Wood Road
Swiss Cottage
Finchley Rd.
Chalk Farm
Camden Town
Mornington Crescent
Marlborough Road
Belsize Park
Hampstead
West Hampstead
Golders Green
Highgate
Tufnell Park
Kentish Town
South Kentish Town
Caledonian Road
Holloway Rd.
Gillespie Rd.
Finsbury Park
Drayton Park
Highbury
Essex Road
York Rd.
Angel
Kings+ Cross
Old St.
Shoreditch
Liverpool St.
Aldgate
Aldgate East
Mark Lane
Monument
Bank
Whitechapel
St. Mary's
Stepney Green
Mile End
Bow Road
Shadwell
Wapping
Rotherhithe
Surrey Docks
New Cross
S.E.R.
L.B.&S.C.R.
Tottenham Court Rd.
Holborn
Post Office
Chancery Lane
Farringdon St.
Russell Sq.
Warren St.
Goodge St.
British Museum
Leicester Square
Covent Garden
Strand
Temple
Mansion House
Queen St.
Charing Cross
Trafalgar Square
Whitehall
Westminster
Waterloo
Lambeth (North)
Borough
London Bridge
Elephant & Castle
Kennington (New St.)
Oval
Stockwell
Clapham Road
Clapham Common
TO BROMLEY, UPTON PARK, PLAISTOW, EAST HAM, BARKING & SOUTHEND
TO WOOD GREEN, ALEXANDRA PALACE, NEW SOUTHGATE, ENFIELD, ALSO TOTTENHAM AND WALTHAM CROSS
M.E. TRAMS TO FINCHLEY
MOTOR BUS TO MUSWELL HILL
M.E. TRAMS TO FINCHLEY AND BARNET
MOTOR BUS TO ST. ALBANS, HENDON AND K. LANGLEY
L.U. TRAMS TO HANWELL, SOUTHALL, HAYES AND UXBRIDGE
MOTOR BUS TO BARNES AND EAST SHEEN, L.U. TRAMS TO ARDWICK, ISLEWORTH, HOUNSLOW, TWICKENHAM & HAMPTON COURT
MOTOR BUS TO BATTERSEA, CLAPHAM JUNC. & STREATHAM
MOTOR BUS TO BAYHAM, MITCHAM, BELMONT & BOREHAM
MOTOR BUS TO SLOUGH & WINDSOR
MOTOR BUS TO TWICKENHAM & KINGSTON

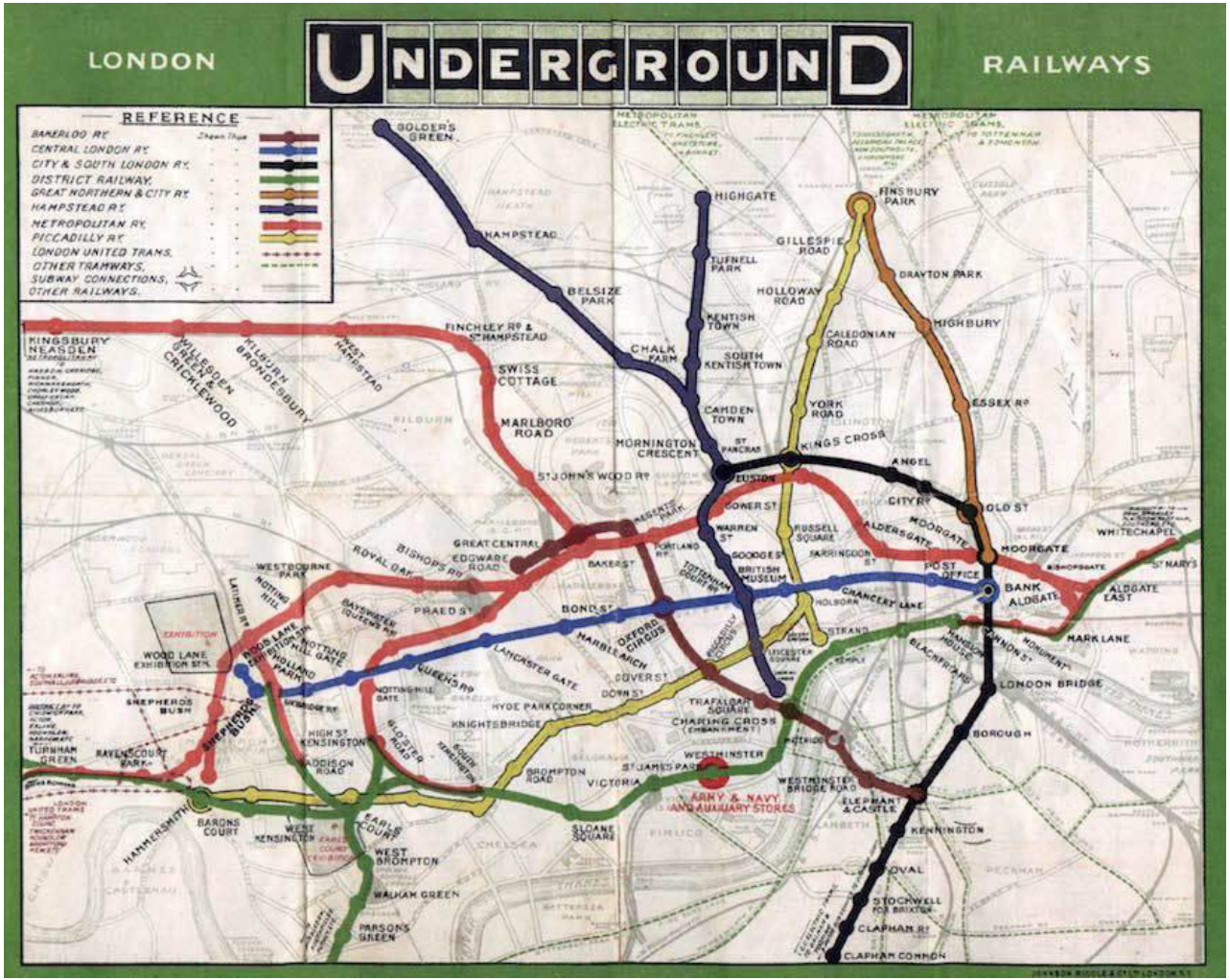
LONDON
UNDERGROUND
RAILWAYS
REFERENCE
BAKERLOO RY.
CENTRAL LONDON RY.
CITY & SOUTH LONDON RY.
DISTRICT RAILWAY.
GREAT NORTHERN & CITY RY.
HAMPSTEAD RY.
METROPOLITAN RY.
PICCADILLY RY.
LONDON UNITED TRAMS.
OTHER TRAMWAYS.
SUBWAY CONNECTIONS.
OTHER RAILWAYS.
GOLDER'S GREEN
HAMPSTEAD
HIGHGATE
FINSBURY PARK
GILLESPIE ROAD
TUFNELL PARK
DRAYTON PARK
HOLLOWAY ROAD
BELSIZE PARK
KENTISH TOWN
HIGHBURY
CALEDONIAN ROAD
KINGSBURY NEASDEN
WILLESDEN GREEN
CRICKLEWOOD
KILBURN
BRONDESBURY
WEST HAMPSTEAD
FINCHLEY RD & HAMPSTEAD
CHALK FARM
SOUTH KENTISH TOWN
SWISS COTTAGE
CAMDEN TOWN
YORK ROAD
ESSEX RD
MARLBORO' ROAD
MORNINGTON CRESCENT
ST PANCRAS
KINGS CROSS
ANGEL
ST JOHN'S WOOD RY
EUSTON
CITY RY
OLD ST
GREAT CENTRAL
EDGWARE ROAD
WARREN ST
RUSSELL SQUARE
MOORGATE
WHITECHAPEL
BISHOPS RD
BAKER ST
GOODGE ST
BRITISH MUSEUM
POST OFFICE
BANK
ALDGATE
ALDGATE EAST
WESTBOURNE PARK
ROYAL OAK
PADDINGTON
PRAED ST
BOND ST
CHANCERY LANE
HOLBORN
STRAND
MARK LANE
NOTTING HILL GATE
OXFORD CIRCUS
MARBLE ARCH
LANCASTER GATE
QUEENS RD
COVENTRY ST
DOWN ST
TRAFALGAR SQUARE
CHARING CROSS
LONDON BRIDGE
WOOD LANE EXHIBITION
SHEPHERDS BUSH
HYDE PARK CORNER
KNIGHTSBRIDGE
HIGH ST KENSINGTON
OLD BROMPTON ROAD
SOUTH KENSINGTON
WESTMINSTER
BOROUGH
TURNHAM GREEN
RAVENSCOURT PARK
ADDISON ROAD
BROMPTON ROAD
ST JAMES'S PARK
VICTORIA
ARMY & NAVY AND AUXILIARY STORES
WESTMINSTER BRIDGE ROAD
ELEPHANT & CASTLE
KENNINGTON
HAMMERSMITH
BARONS COURT
WEST KENSINGTON
EARLS COURT
SLOANE SQUARE
OVAL
WEST BROMPTON
WALHAM GREEN
STOCKWELL FOR BRIXTON
PARSONS GREEN
CLAPHAM RD
CLAPHAM COMMON

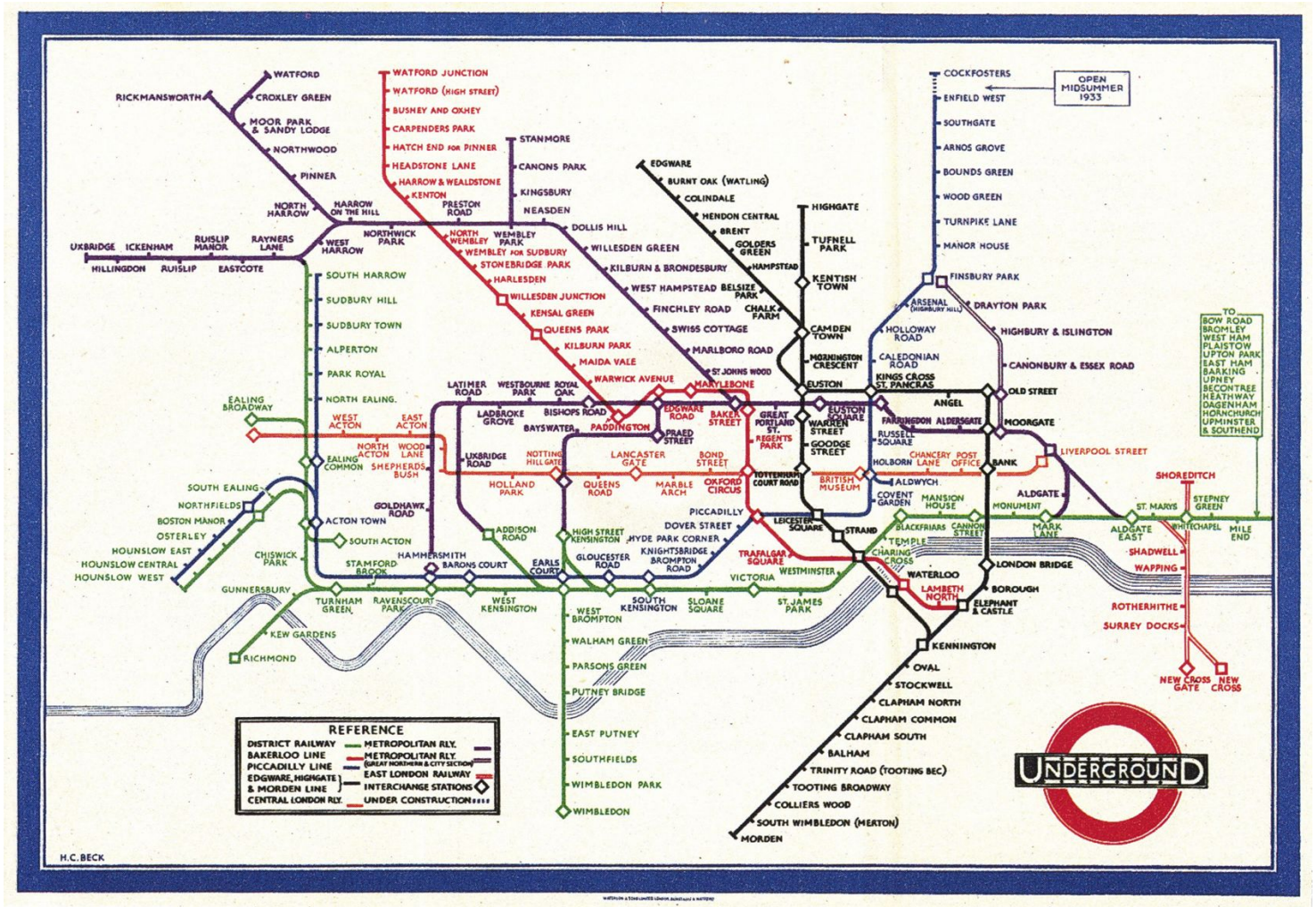

Harry Beck , 1931

“Le parole dividono, le immagini uniscono”. È ciò che si legge in International Picture Language. The First Rules of ISOTYPE (Neurath, 1936), pubblicato nel 1936 da Otto Neurath, sociologo ed economista austriaco, pioniere di un sistema di comunicazione universale basato sul linguaggio visivo. In una Vienna caratterizzata da forti trasformazioni sociali, Neurath sviluppa il metodo viennese che sarà rinominato nel 1935 da Marie Neurath “Isotype”, acronimo di “International system of Typographic picture education”, un sistema di visualizzazione delle informazioni che avrebbe consentito un processo di democratizzazione del sapere.

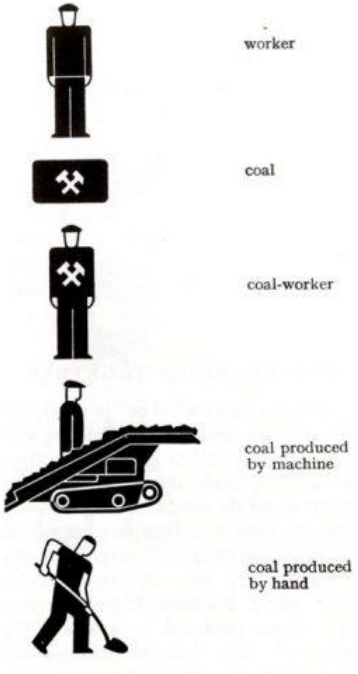

Home and Factory Weaving in England

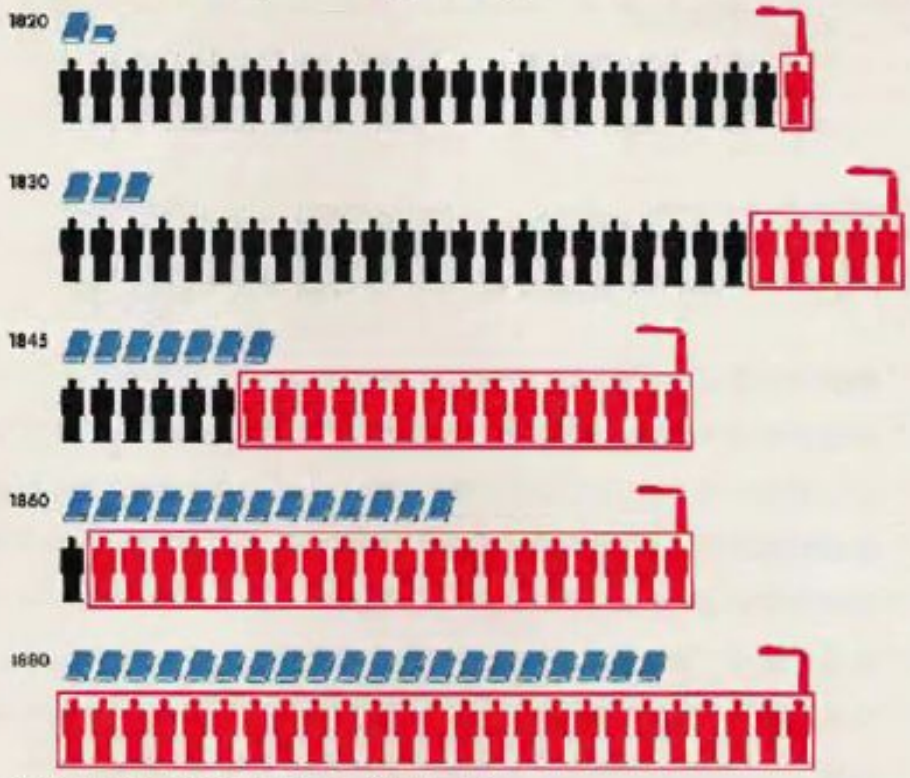

Each blue symbol represents 50 million pounds total production
Each black man symbol represents 10,000 home weavers
Each red man symbol represents 10,000 factory weavers

Isotype, 1920

Otto Neurath

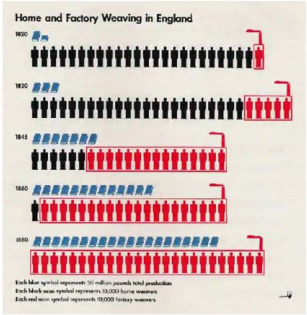

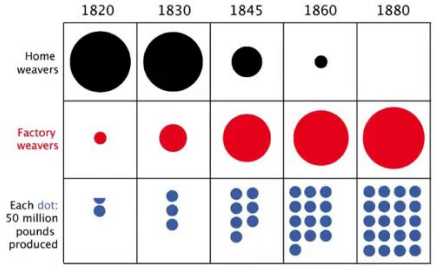

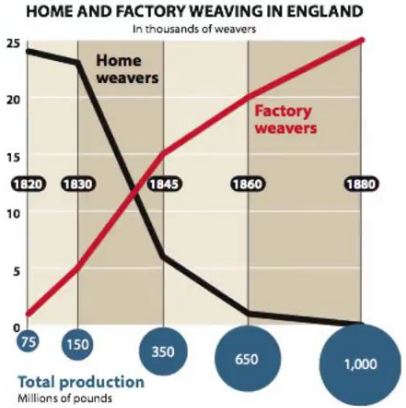

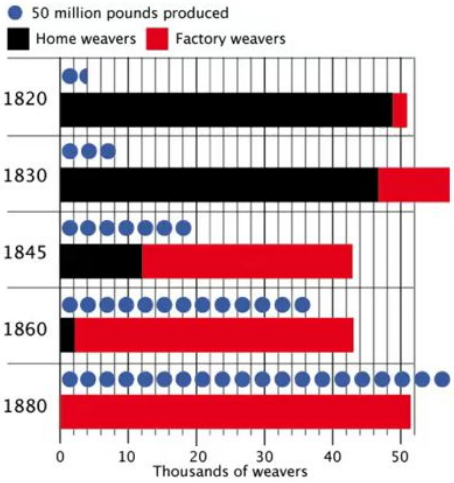

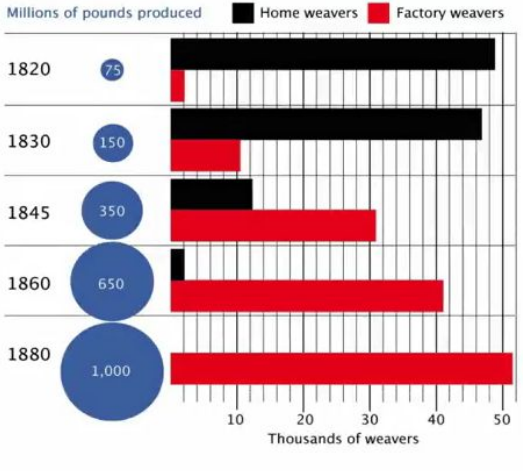

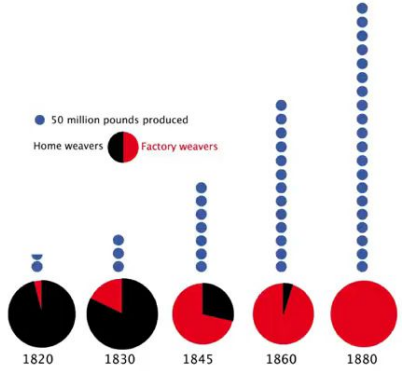

Un’infografica è un contenuto informativo che spesso ha la capacità di saper comunicare idee complesse con chiarezza, precisione ed efficienza in breve tempo.

L’infografica può ridurre lo stress da sovraccarico di informazioni e aiutare il lettore a sentirsi più sicuro delle proprie acquisizioni.

“Un’infografica mostra visivamente grandezze misurate mediante l’uso combinato di punti, linee, un sistema di coordinate, numeri, simboli, parole, ombreggiatura e colore.”

“L’eccellenza grafica è ciò che offre all’osservatore il numero maggiore di idee nel minor tempo, con la minor quantità di inchiostro e nello spazio più limitato”

Edward Tufte, 2001

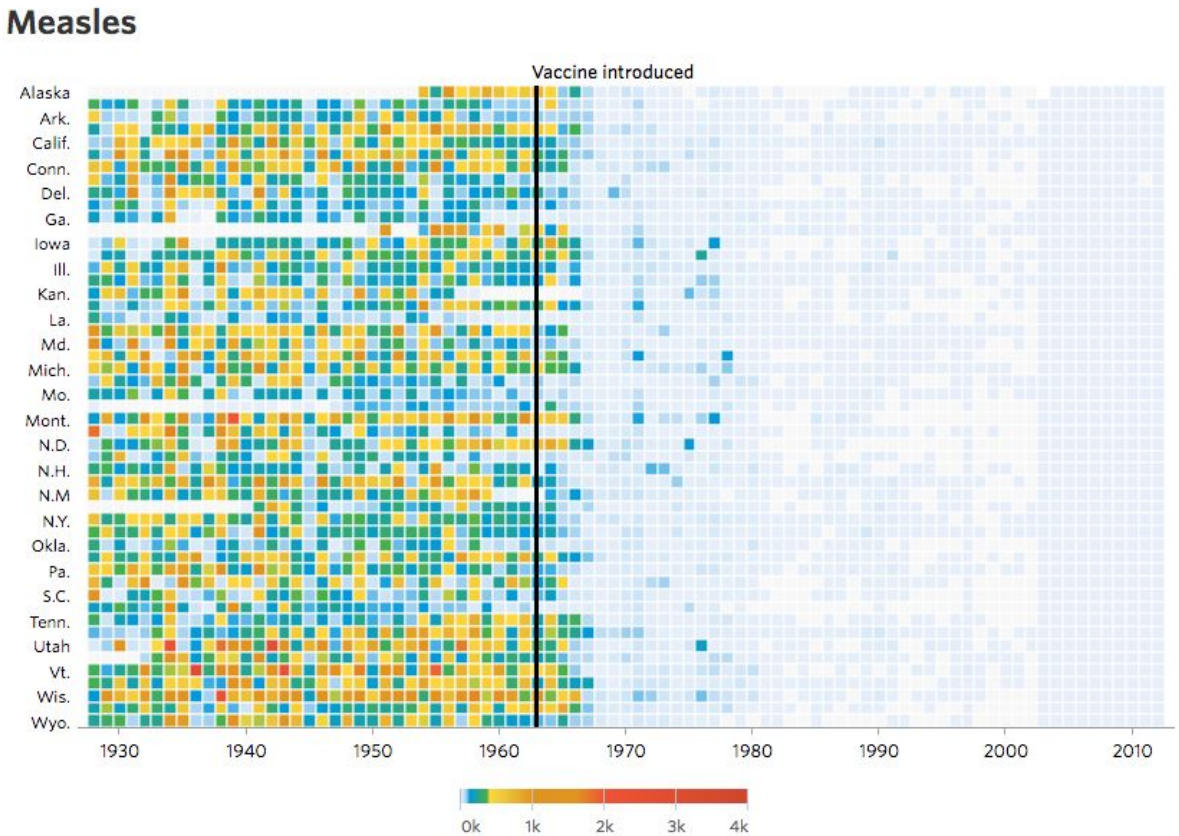

The Wall Street Journal by Tynan DeBold and Dov Friedman
Published Feb. 11, 2015 at 3:45 p.m. ET

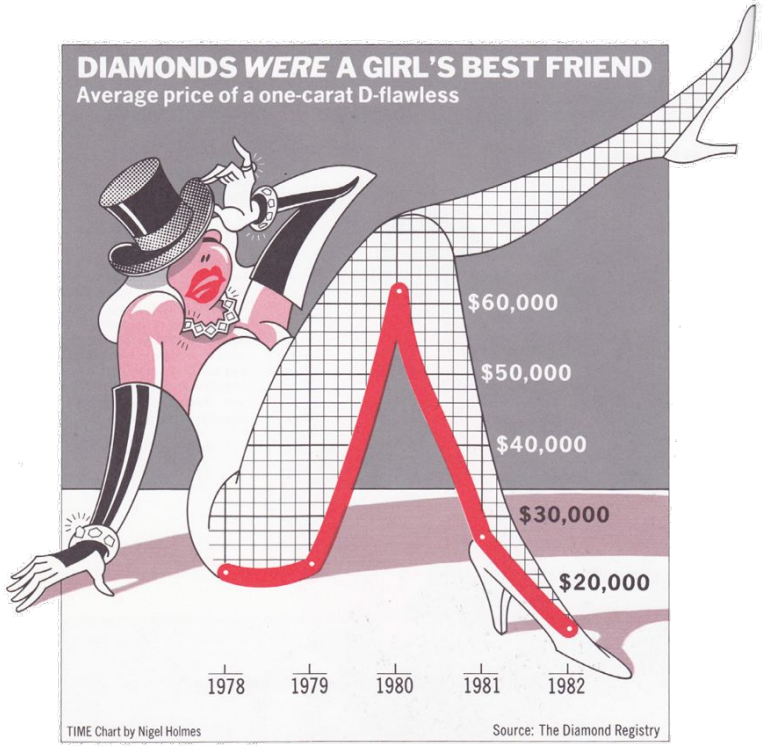
DIAMONDS *WERE* A GIRL'S BEST FRIEND
Average price of a one-carat D-flawless
$60,000
$50,000
$40,000
$30,000
$20,000
1978
1979
1980
1981
1982
TIME Chart by Nigel Holmes
Source: The Diamond Registry


THE COSMETICS DOLLAR
Where it goes
60¢ MANUFACTURER
10¢ Promotion
19¢ Salaries, wages & administration
11¢ Packaging
2¢ Interest & other expenses
10¢ Pretax profit
Heat, light, salaries, wages & profits
8¢ ingredients
40¢ RETAILER

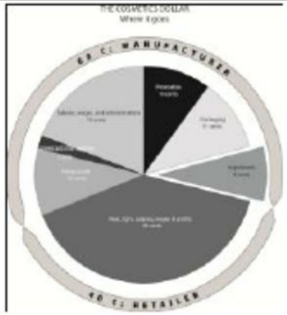
THE COSMETICS DOLLAR
Where it goes
60 ¢: MANUFACTURER
40 ¢: RETAILER

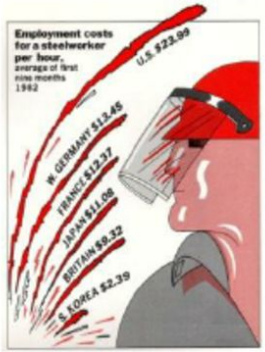
Employment costs for a steelworker per hour, average of first nine months 1982
U.S. $22.99
W. GERMANY $12.45
FRANCE $12.37
JAPAN $11.08
BRITAIN $9.32
S. KOREA $2.39

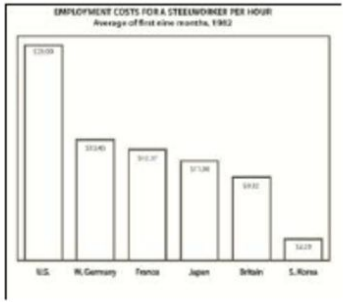
EMPLOYMENT COSTS FOR A STEELWORKER PER HOUR
Average of first nine months, 1982
U.S.
W. Germany
France
Japan
Britain
S. Korea

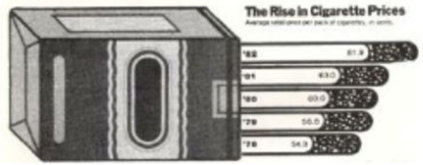
The Rise in Cigarette Prices


THE RISE IN CIGARETTE PRICES

“una mostra sgradevole piena di cliché e stereotipi, umorismo grossolano e una terza dimensione vuota di contenuti … Tutto conta ma niente ha importanza” (Tufte, 1990)


MONSTROUS COSTS
Total House and Senate campaign expenditures, in millions
$300
250
200
150
100
50
1972
'74
'76
'78
'80
'82 est.
VOTE

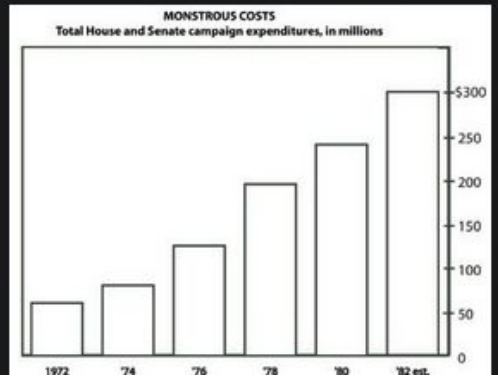
MONSTROUS COSTS
Total House and Senate campaign expenditures, in millions
$300
250
200
150
100
50
0
1972
'74
'76
'78
'80
'82 est.

In uno studio condotto in Canada dalla University of Saskatchewan, è stato dimostrato come nel lungo periodo i grafici che includono abbellimenti si rivelino migliori nel favorire il ricordo rispetto ai grafici minimalisti

[1] Scott Bateman, Regan L. Mandryk, Carl Gutwin, Aaron Genest, David McDine e Christopher Brooks,"Useful Junk? The Effects of Visual Embellishment on Comprehension and Memorability of Charts".

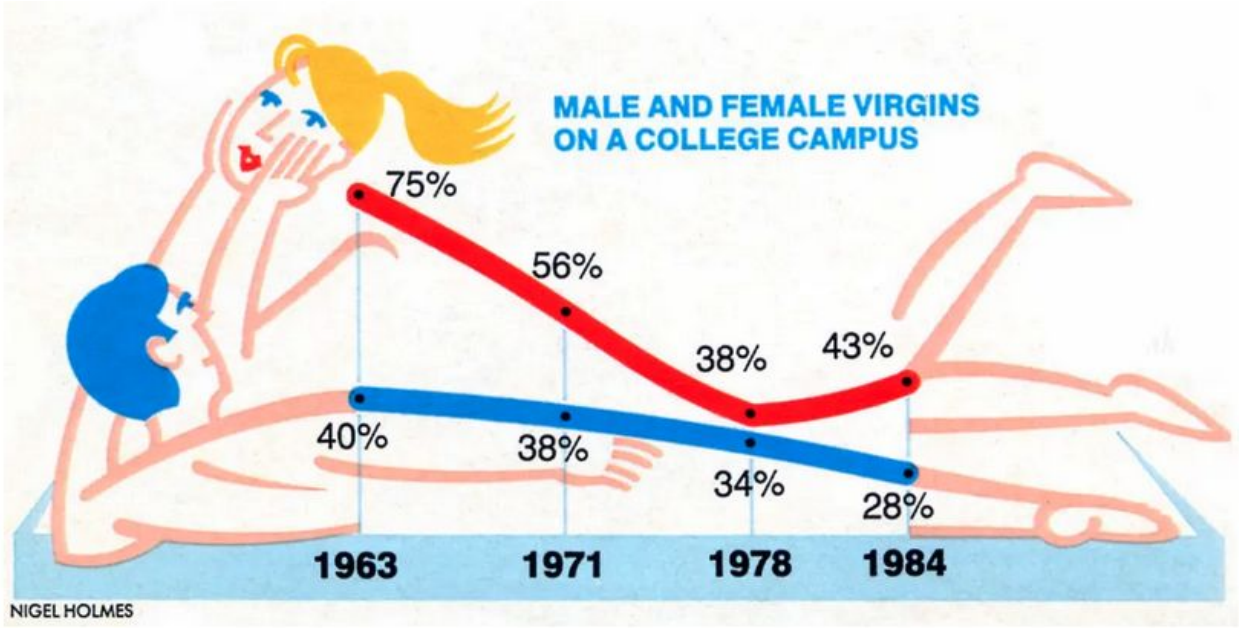

(From Glamour magazine.)

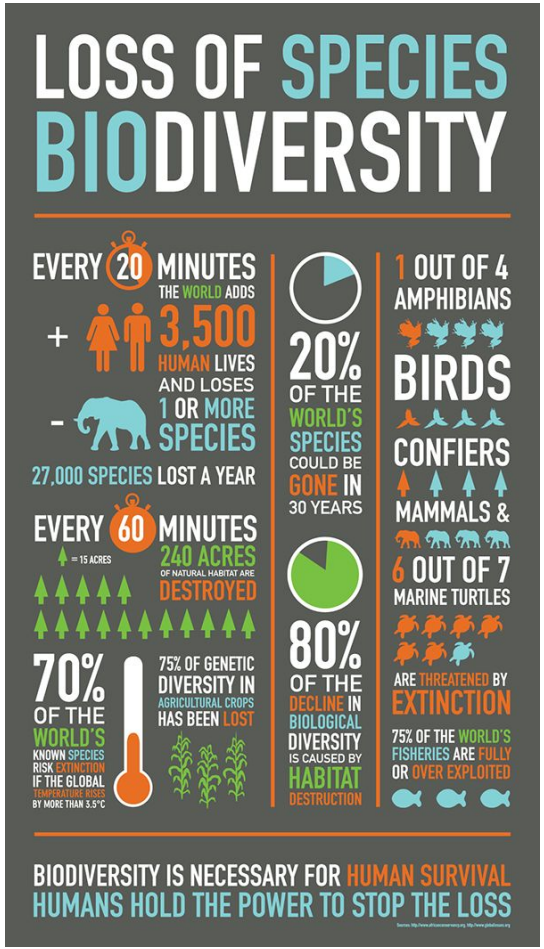
LOSS OF SPECIES
BIODIVERSITY
EVERY 20 MINUTES
THE WORLD ADDS
+ 3,500
HUMAN LIVES
AND LOSES
- 1 OR MORE
SPECIES
27,000 SPECIES LOST A YEAR
EVERY 60 MINUTES
= 15 ACRES
240 ACRES
OF NATURAL HABITAT ARE
DESTROYED
70%
OF THE
WORLD'S
KNOWN SPECIES
RISK EXTINCTION
IF THE GLOBAL
TEMPERATURE RISES
BY MORE THAN 3.5°C
75% OF GENETIC
DIVERSITY IN
AGRICULTURAL CROPS
HAS BEEN LOST
20%
OF THE
WORLD'S
SPECIES
COULD BE
GONE IN
30 YEARS
80%
OF THE
DECLINE IN
BIOLOGICAL
DIVERSITY
IS CAUSED BY
HABITAT
DESTRUCTION
1 OUT OF 4
AMPHIBIANS
BIRDS
CONFIERS
MAMMALS &
6 OUT OF 7
MARINE TURTLES
ARE THREATENED BY
EXTINCTION
75% OF THE WORLD'S
FISHERIES ARE FULLY
OR OVER EXPLOITED
BIODIVERSITY IS NECESSARY FOR HUMAN SURVIVAL
HUMANS HOLD THE POWER TO STOP THE LOSS

A world of languages

There are at least 7,102 known languages alive in the world today. Twenty-three of these languages are a mother tongue for more than 50 million people. The 23 languages make up the native tongue of 4.1 billion people. We represent each language within black borders and then provide the numbers of native speakers (in millions) by country. The colour of these countries shows how languages have taken root in many different regions

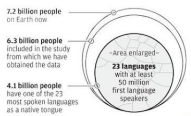

Regions in which these languages are present

Countries whose figures in each language is too small to be represented have been put into a single group and marked with the symbol '+'

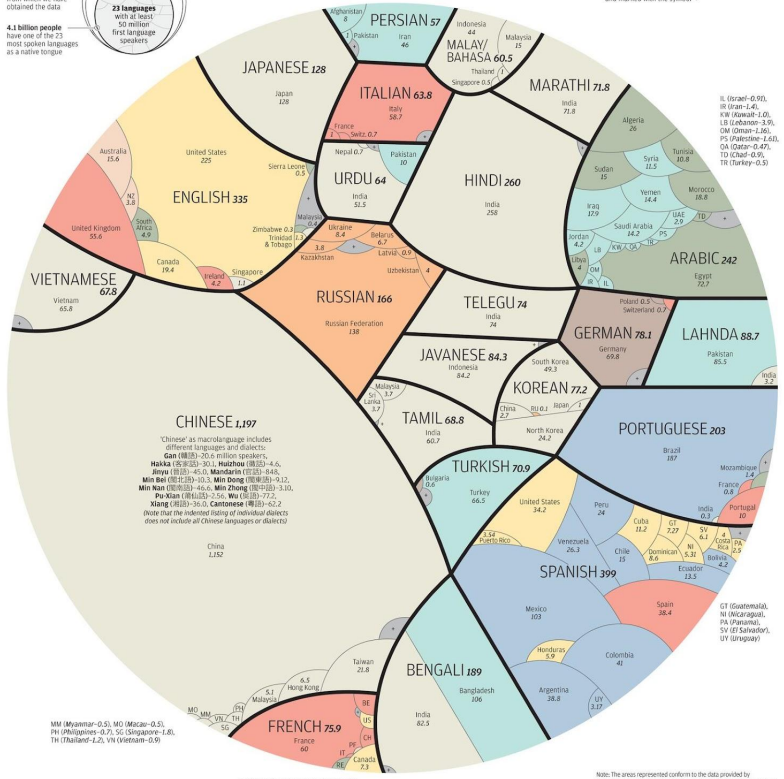

IL (*Israel–0.92*), IR (*Iran–1.4*), KW (*Kuwait–1.0*), LB (*Lebanon–3.9*), OM (*Oman–1.16*), PS (*Palestine–1.61*), QA (*Qatar–0.47*), TD (*Chad–0.9*), TR (*Turkey–0.5*)

MM (*Myanmar–0.5*), MO (*Macau–0.5*), PH (*Philippines–0.7*), SG (*Singapore–1.8*), TH (*Thailand–1.2*), VN (*Vietnam–0.9*)

BE (*Belgium–3.9*), CH (*Switzerland–1.9*), IT (*Italy–0.2*), PF (*French Polynesia–0.2*), RE (*Réunion–0.7*), US (*United States–1.3*)

GT (*Guatemala*), NI (*Nicaragua*), PA (*Panama*), SV (*El Salvador*), UY (*Uruguay*)

Note: The areas represented conform to the data provided by "Ethnologue–Languages of the World". These estimates are not absolute because the demography is constantly evolving. Some studies are based on data from old census and may date back more than 8 years

DEMOCRATS

Number of times words were used per 25,000 words spoken

REPUBLICANS

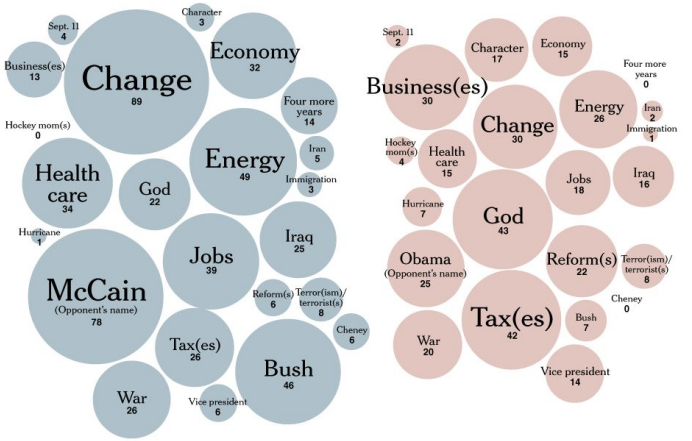

SOME OF THE DEMOCRATIC SPEAKERS — SOME OF THE REPUBLICAN SPEAKERS

Number of times speakers used the following words or phrases	Hillary Rodham Clinton	Bill Clinton	Joseph R. Biden Jr.	Barack Obama	Rudolph W. Giuliani	Joseph I. Lieberman	Sarah Palin	John McCain
Four more years	1		1					
Iran	1		3	2			1	1
Opponent's name	6		13	21	15	4	1	6
Change	1		20	16	8	1	3	9
Iraq	3		3	6	3	2	3	2
Health care	5	7	4	7				4
Economy	7	2	1	10	2		1	7
Jobs	6	4	3	7	4	1	2	9
Immigration				1		1		
Energy	4	2	3	3	2		6	3
War	3	1	1	4	2	2	3	7
Sept. 11			1	2	1	1	1	
Terror(ism)/(ists)	1	1	2	4	5	1	3	1
God	3	1	8	2		3	2	8
Tax(es)	1	2	6	11	3		11	8
Vice president			1	1			2	1
Business(es)	1			6	1	1	3	7
Reform(s)			2		1	3	8	1
Character				1			1	2
Hurricane				1		2	1	
Hockey mom(s)							3	
Bush	3		5	8				1
Cheney				1				

Source: Federal News Service transcripts

THE PRICE OF BEING WOUNDED

In order to calculate the monthly payout for a wounded warrior, the Veteran's Affairs office breaks down injuries via a detailed grading system. Below is an infographic of how the breakdown works.

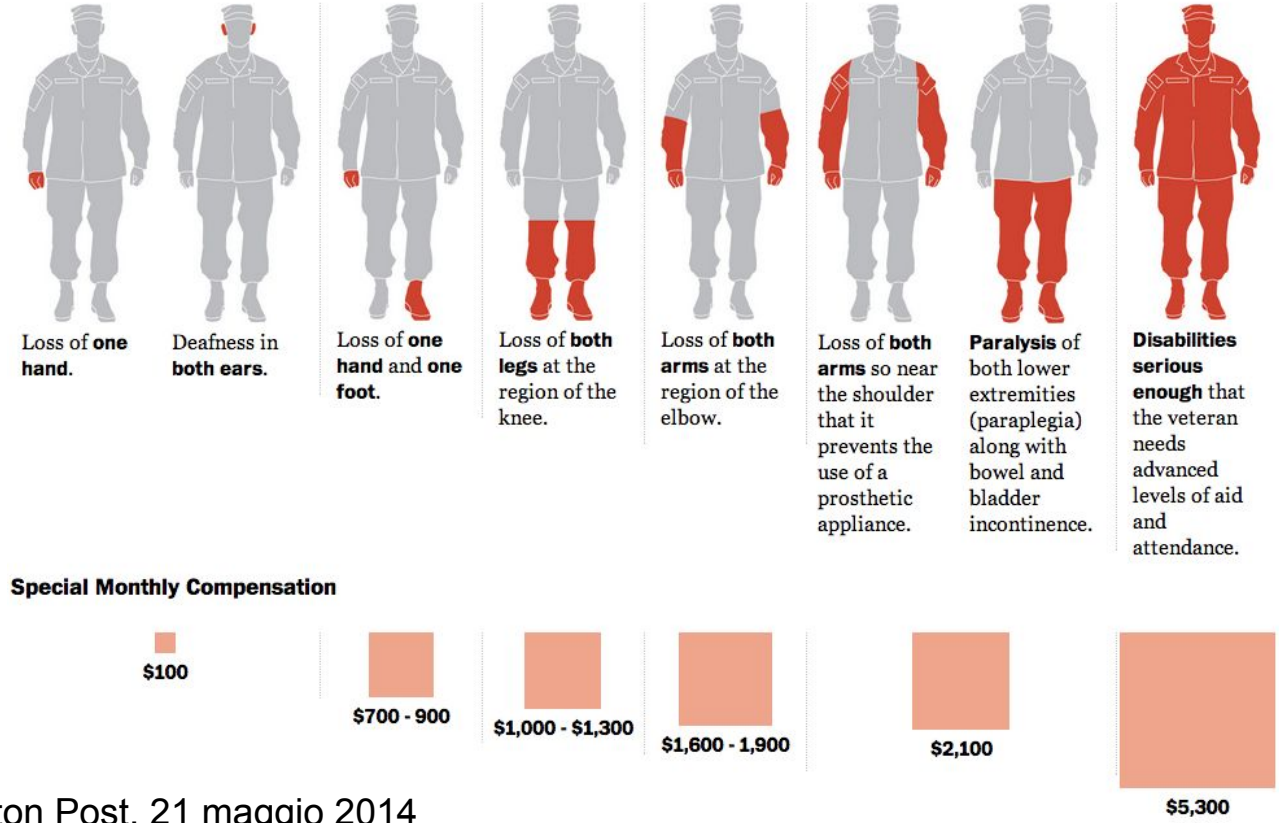

Washington Post, 21 maggio 2014

PHOTOS (and drawings)

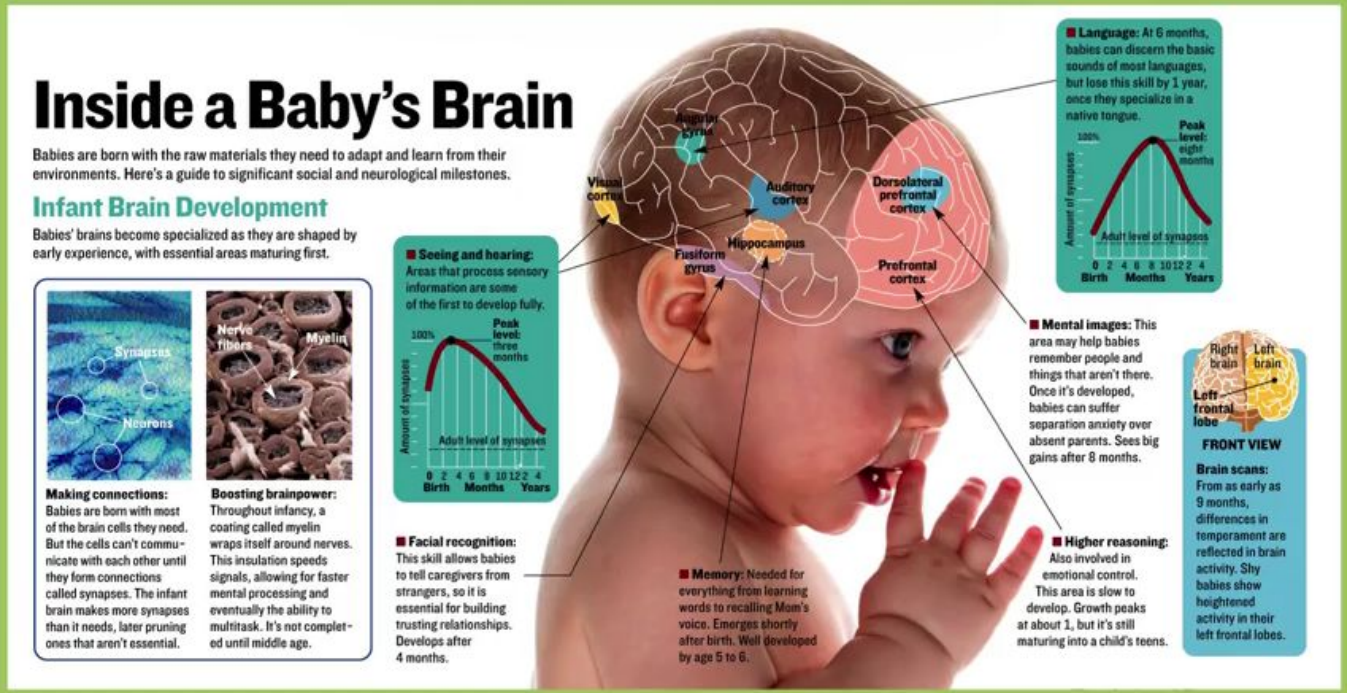

The math of mass shootings è un metodico percorso grafico, che ripercorre le sparatorie americane degli ultimi cinquant'anni.
Il team composto dalla reporter Bonnie Berkowitz, dal graphic editor Lazaro Gamio e dai graphic designer Denise Lu e Kevin Uhrmacher, ha scelto una via del tutto innovativa, lasciando letteralmente "parlare il dato": invertendo totalmente la gerarchia tra testo e immagine, lo spazio lasciato alla parola è ridotto a pochi brevi trafiletti, nei quali vengono condensate tutte le informazioni non rappresentate.
L'articolo è composto da tre sezioni costituite da tre infografiche interattive che, tramite la tecnica del pattern ritmico, rappresentano le 889 vittime, le 248 pistole e i 133 killer che hanno compiuto i 130 mass shooting più sanguinosi nella storia degli Stati Uniti, dalla strage all'Università del Texas del 1966, fino a i tragici fatti avvenuti ad Orlando nel giugno 2016.

https://www.informationisbeautifulawards.com

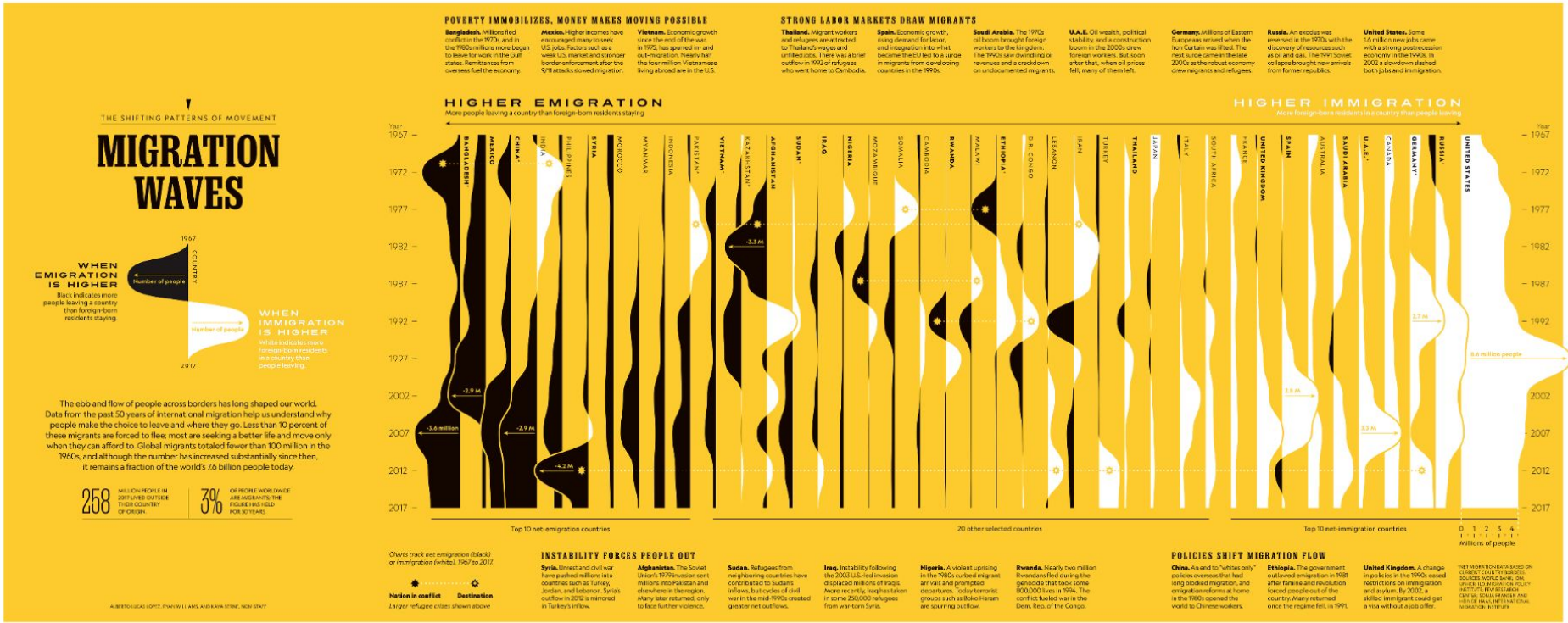

WORLD BIGGEST DATA BREACHES

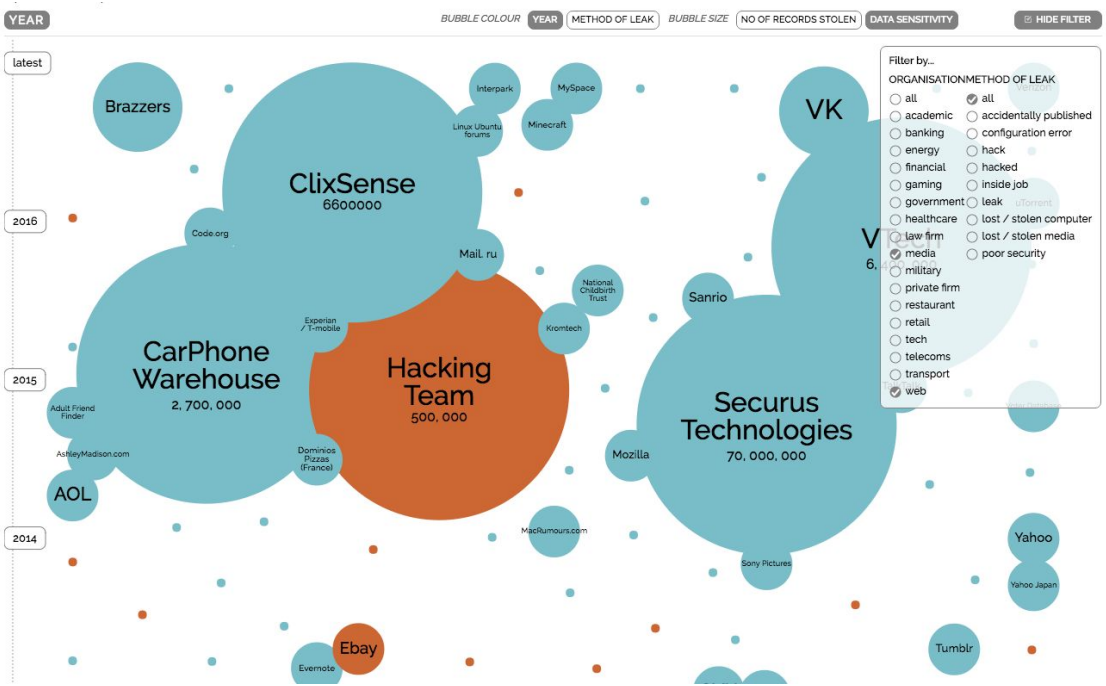

THE DAILY ROUTINES OF
FAMOUS CREATIVE PEOPLE

Turns out great minds don't think alike. Discover how some of the world's most original artists, writers and musicians structured their day, based on 'Daily Rituals' by Mason Currey. Filter the different categories by toggling on or off, and hover over the colored bars to learn more about the daily routines.

SLEEP | CREATIVE WORK | DAY JOB/ADMIN | FOOD/LEISURE | EXERCISE | OTHER

"I never could have done what I have done without the habits of punctuality, order, and diligence, without the determination to concentrate myself on one subject at a time."

CHARLES DICKENS

Disclaimer: The above info doesn't characterize the entire life of each person but a specific period of time as recorded in diaries, letters and other documentation. | Sources: Daily Rituals: How Artists Work by Mason Currey, Daily Routines blog and other academic studies.

CV infografico

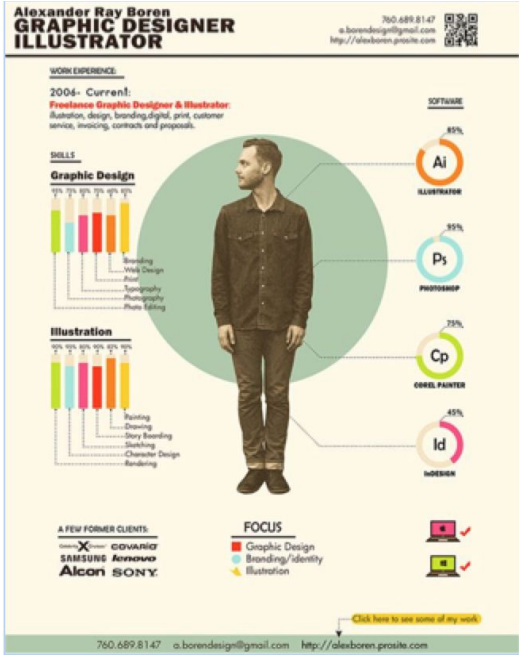

RISORSE DATI

[Google Public Data]
[Google trends]
Istat.it
Audiweb

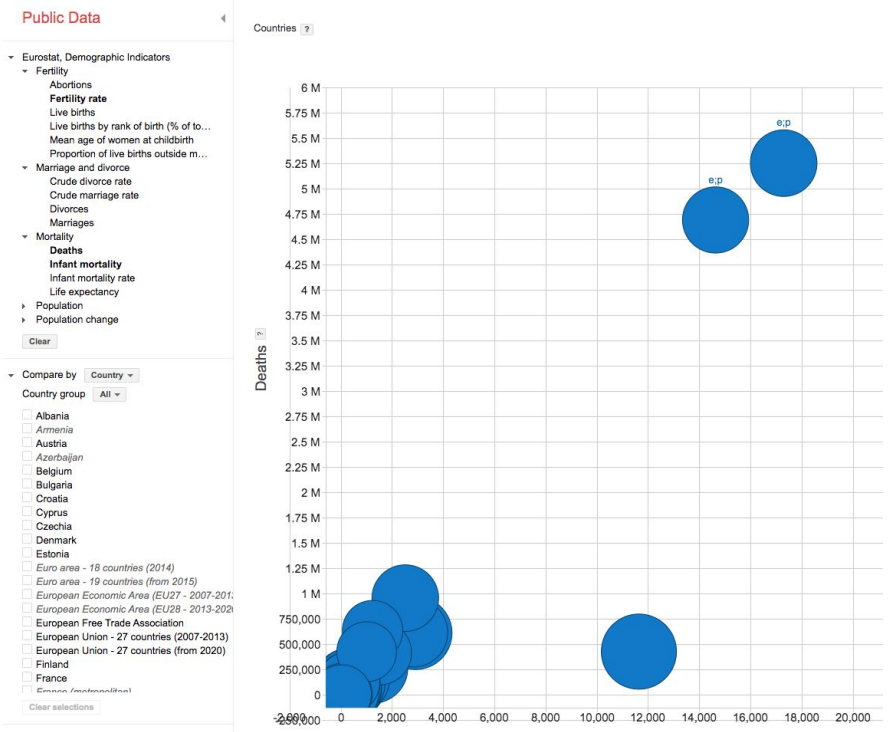

www.informationisbeautifulawards.com